

TAVOLE

TAVOLA I.

SPIEGAZIONE DELLE FIGURE.

Parawiglio (Parawiglio) Immagine Arcangeli.

Fig. I. — Cappello e l. berettoncino, visto dal dorso
(x 44).

Fig. 3. — Epinette detta dal l. berettoncino, visto dal
fondo esterno (x 45).

V. ARCANELLI dal

I AJOVAT

SPIEGAZIONE DELLE FIGURE.

Pararmadillo (Pararmadillo) pruinosus ARCANGELI.

Fig. 1. — Cephalon e 1º pereiopode, visti dal dorso
(x 44).

Fig. 2. — Epimere destro del 1º pereiopode, visto dal
lato esterno (x 42).

A. ARCANGELI del.

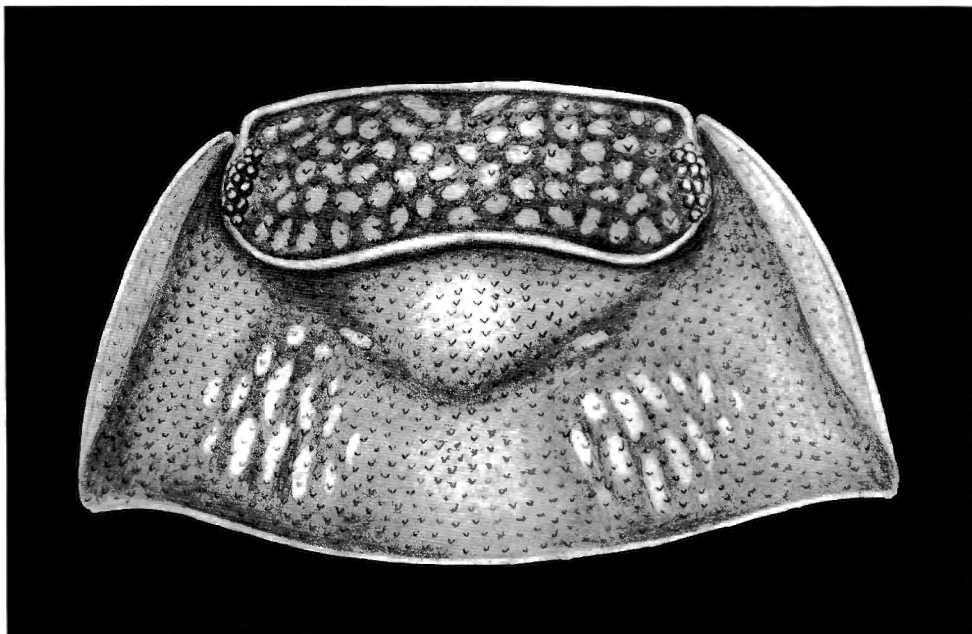


Fig. 1.

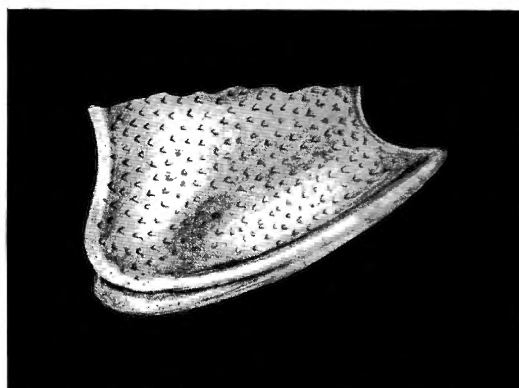


Fig. 2.

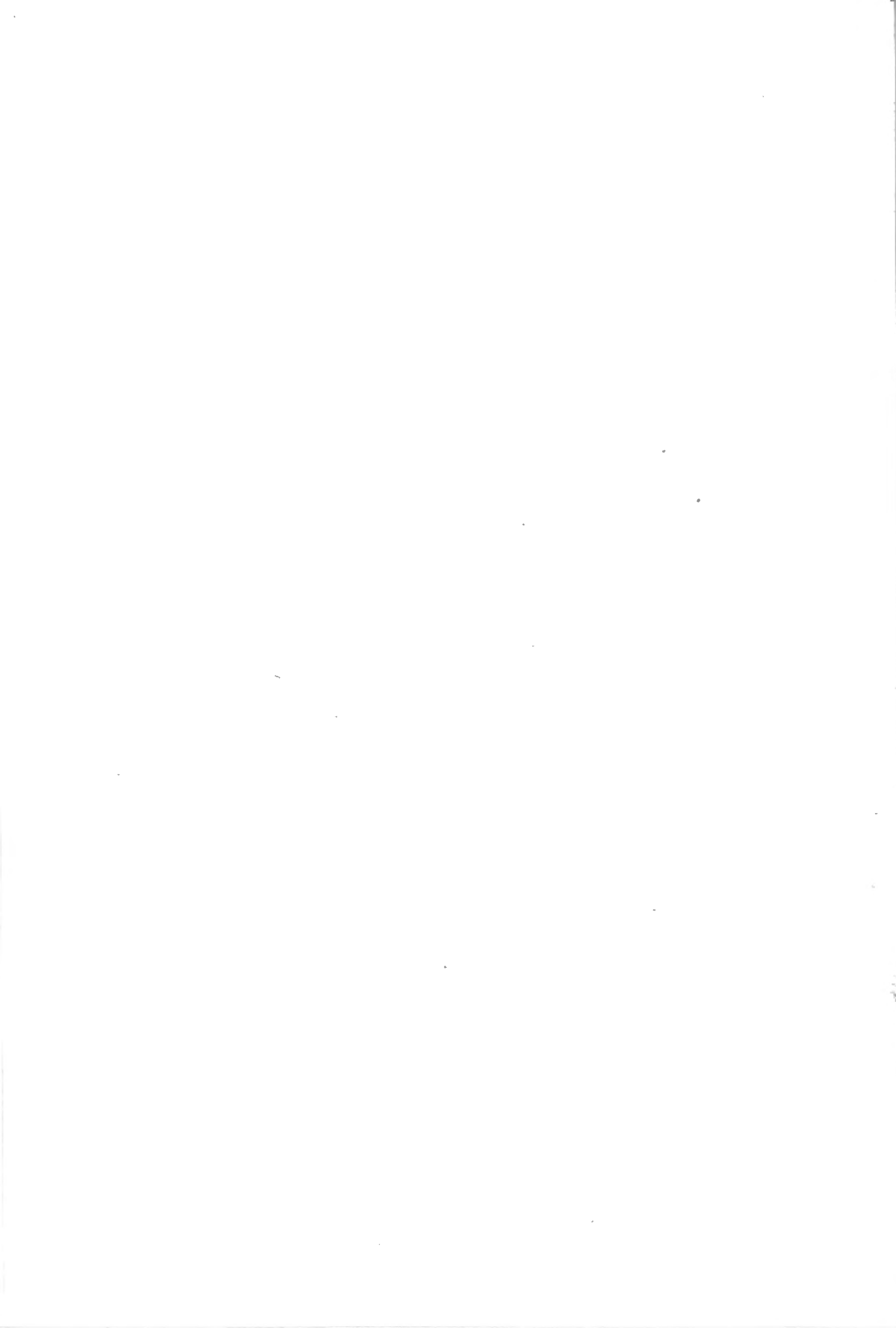


TAVOLA II.

SPIEGAZIONE DELLE FIGURE

- Fig. 3. — 2° piano, proiezione del medaglione dell'arcangelo Michele (x 45).
- Fig. 4. — Acciappafeste: a) del medaglione medievale, b) della medaglione d'argento del cardinale Giulio Savoia (x 450).
- A. ARCANGETI del.

II ALIOVAT

SPIEGAZIONE DELLE FIGURE.

Pararmadillo (Pararmadillo) pruinosus ARCANGELI.

Fig. 3. — 5° pleonite, pleotelson ed uropodi, visti dal lato dorsale (x 42).

Fig. 4. — Aculeosetole : *a*, del margine mediale, *b*, dell'angolo distale mediale del carpopodite del 7° pereiopode sinistro del ♂, (x 420).

A. ARCANGELI del.

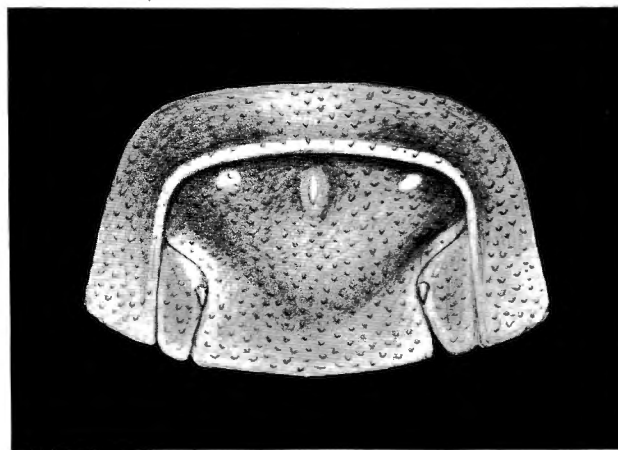


Fig. 3.

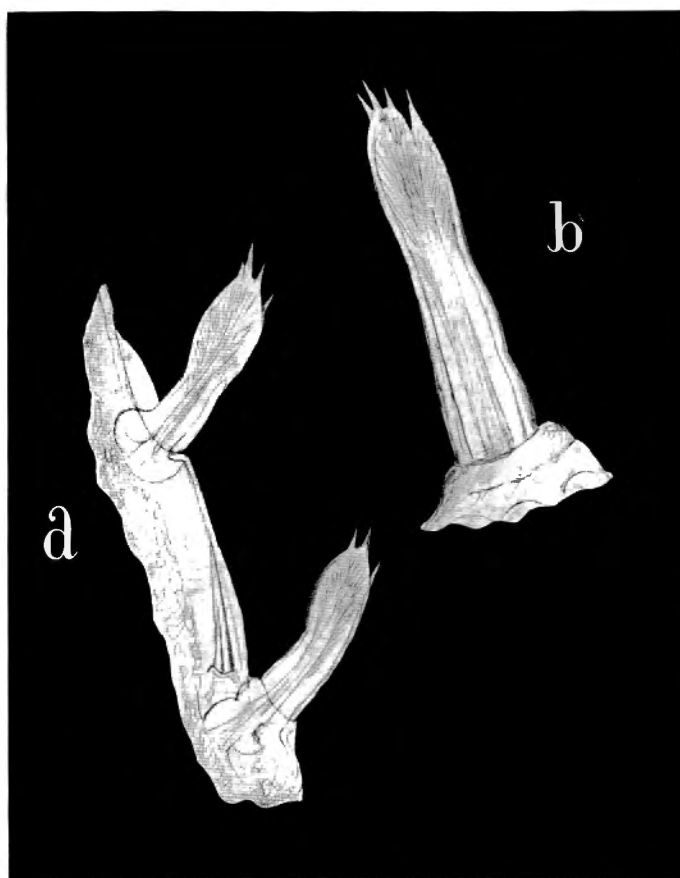


Fig. 4.



TAVOLA III.

SPIEGAZIONE DELLE FIGURE

Paralunghe (Paramungo) brunito ARCANGETI.

Fig. 5. — Eseguite per 1° lebole del
vetro dal forno (x 30).

Fig. 6. — Eseguite per 2° lebole di vetro
dal forno (x 30).

A. ARCANGETI det.

III AJOVAT

SPIEGAZIONE DELLE FIGURE.

Pararmadillo (Pararmadillo) pruinosus ARCANGELI.

Fig. 5. — Exopodite del 1° pleopode destro del ♂, visto dal lato rostrale (x 90).

Fig. 6. — Exopodite del 2° pleopode sinistro del ♂, visto dal lato rostrale (x 90).

A. ARCANGELI del.

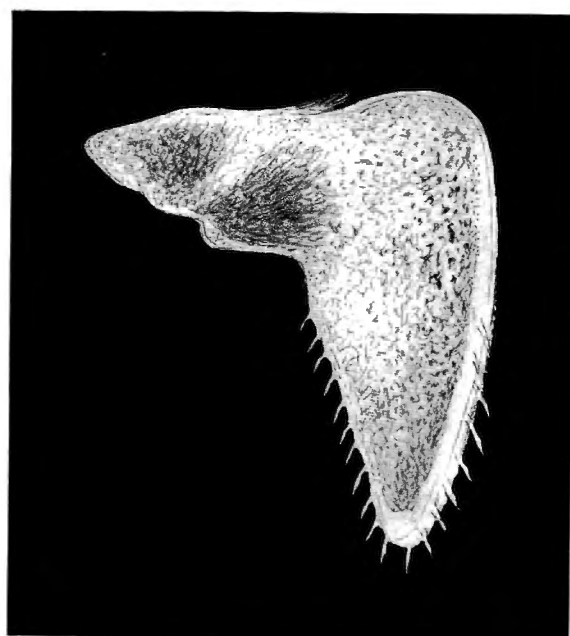


Fig. 5.

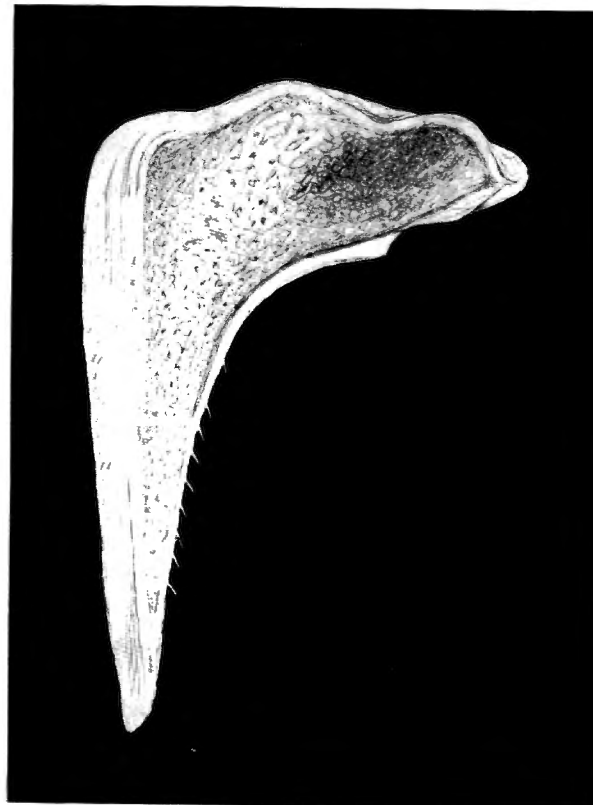


Fig. 6.

TAVOLA IV.

SPIEGAZIONE DELLE FIGURE

Pianeggio (Tupeldillo) legume Van Name

*Hg. 5. — Parte grigia delle foglie junceae esterne delle 1.
mascelle sinistre vista dal lato coniugale
(x 440).*

A. ARCANOGLI det.

VI AJOVAT

SPIEGAZIONE DELLE FIGURE.

Pararmadillo (Tuberdillo) regulus VAN NAME.

Fig. 7. — Parte distale della lamina esterna della 1^o mascella sinistra, vista dal lato caudale (x 440).

A. ARCANGELI del.

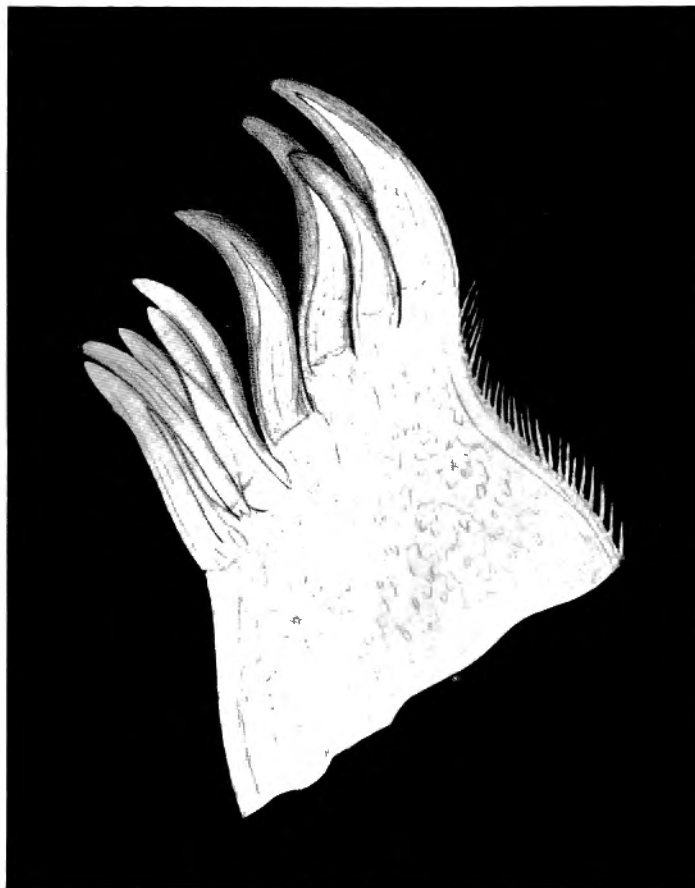


Fig. 7.



TAVOLA V.

SPIEGAZIONE DELLE FIGURE.

Parawallino (Tappetillo) leggero VAN NAME

Fig. 8. — Parte distale del massiccio destro, visto
dal lato opposto (x 440).

A. ARCANO ETI det.

V AIOVAT

SPIEGAZIONE DELLE FIGURE.

Pararmadillo (Tuberdillo) regulus VAN NAME.

Fig. 8. — Parte distale del massillipede destro, vista dal lato caudale (x 440).

A. ARCANGELI del.

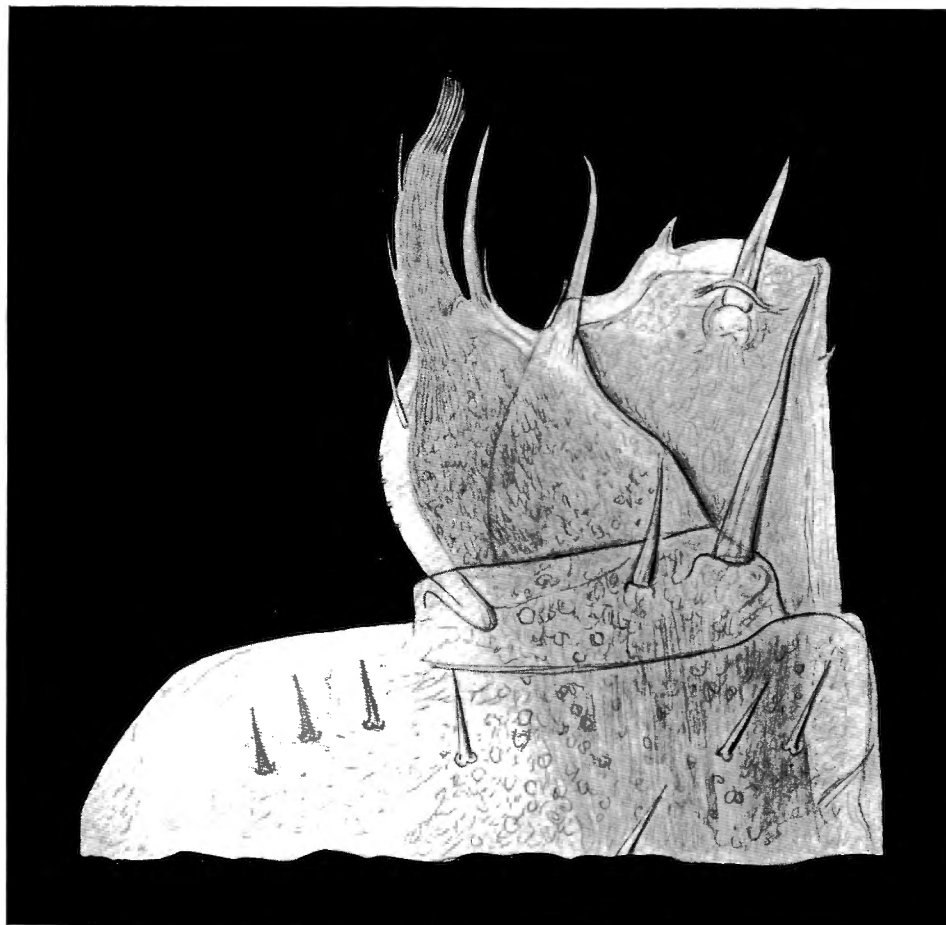


Fig. 8.

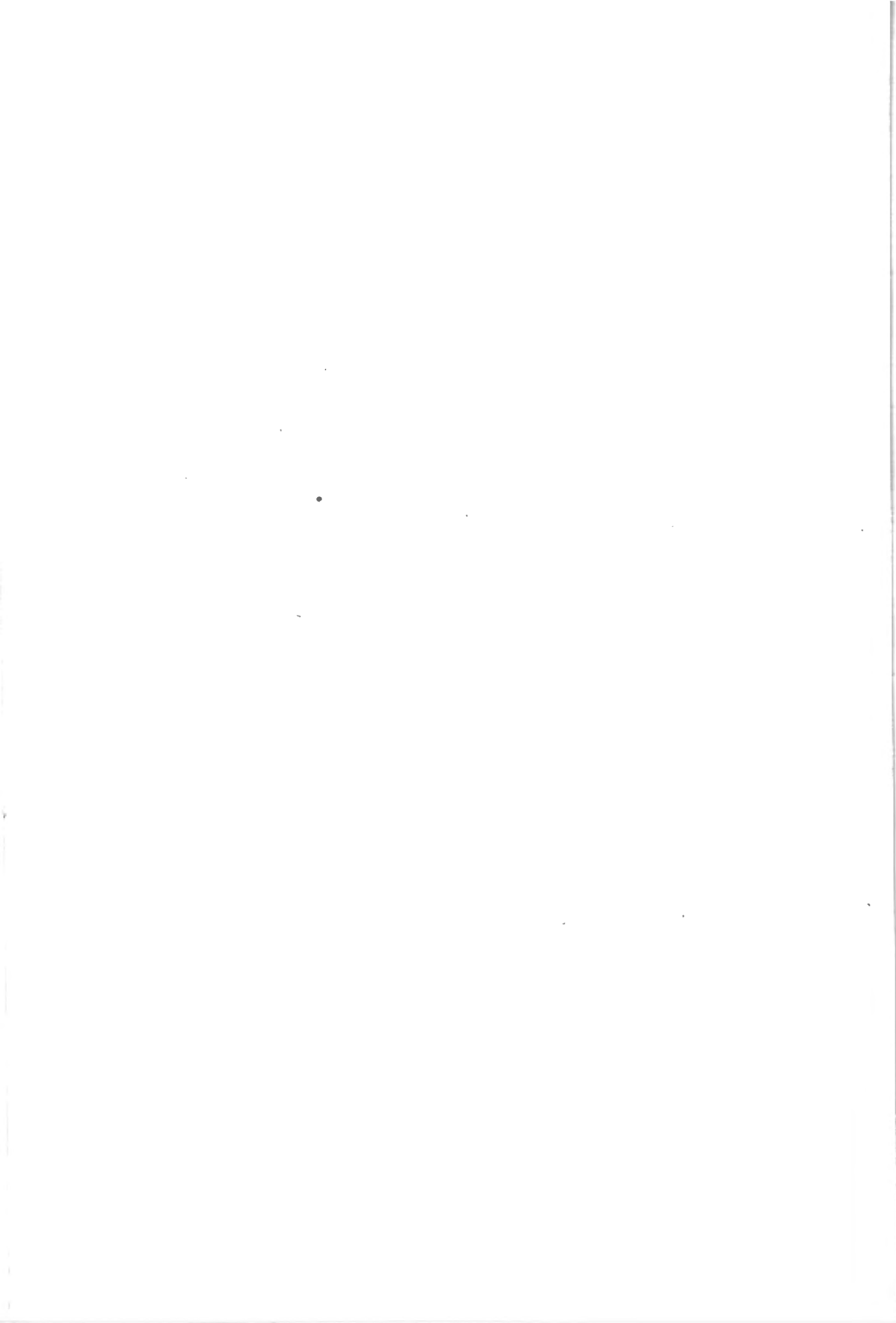


TAVOLA VI.

SPECIAZIONE DELLE FIGURE

Paracanthalio (Thaumagillio) Lepturus VAN NAME

Fig. 9. — J. *paracanthalio* detto del *a* avuto dal solo

testicolo (del maschile) è rappresentato

solo la parte distale (x 130).

V. ARCAZONI del

IV ALBOVAT

SPIEGAZIONE DELLE FIGURE.

Pararmadillo (Tuberdillo) regulus VAN NAME.

Fig. 9. — 7º pereiopode destro del ♂, visto dal lato rostrale (del basipodite è rappresentata solo la parte distale) (x 130).

A. ARCANGELI del.

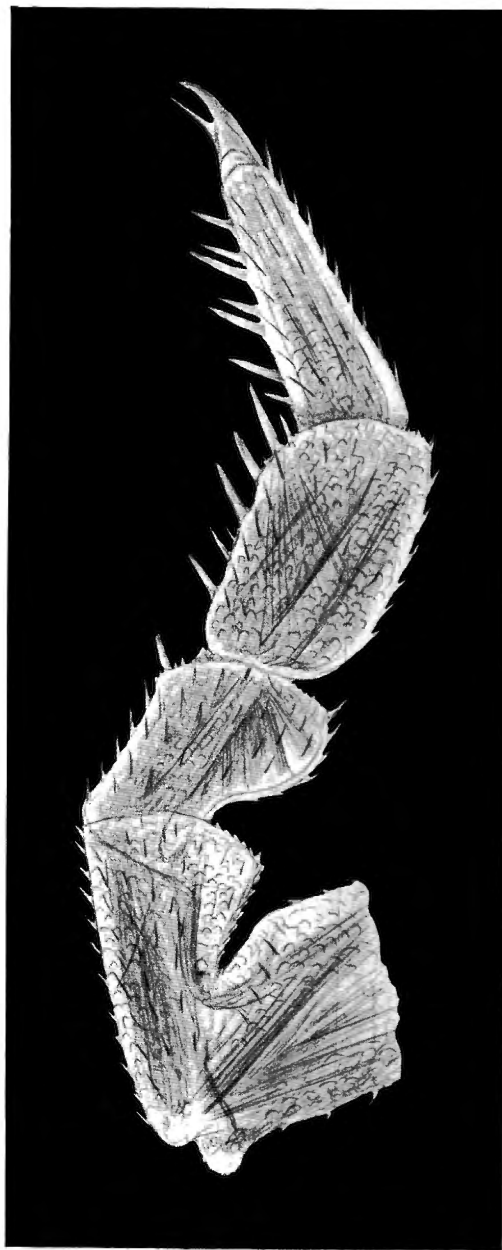


Fig. 9.

TAVOLA VIII.

SPIEGAZIONE DELLE FIGURE.

Cristallizzazione Germanio Arcangeli.

Fig. 13. — Cambiamenti di cristallizzazione I a 5°, avuti dal suo
quarzo (x 30).

Fig. 14. — Cambiamenti di cristallizzazione I a 6°, avuti dal
suo quarzo, in stato di semiriduzione
dell'acqua (x 30).

Fig. 15. — 5° di cristallizzazione, per la decomposizione
della acqua (x 30).

A. ARCANOGLI del

III V AJOVAT

SPIEGAZIONE DELLE FIGURE.

Cristarmadillo Gerardi ARCANGELI.

Fig. 13. — Cephalon e pereioniti 1 a 5, visti dal lato destro (x 26).

Fig. 14. — Epimeri destri dei pereioniti 1 a 6, visti dal lato ventrale, in stato di seminvolvazione dell'animale (x 26).

Fig. 15. — 7^o pereionite, pleon, pleotelson ed uropodi, visti dal dorso (x 27).

A. ARCANGELI del.

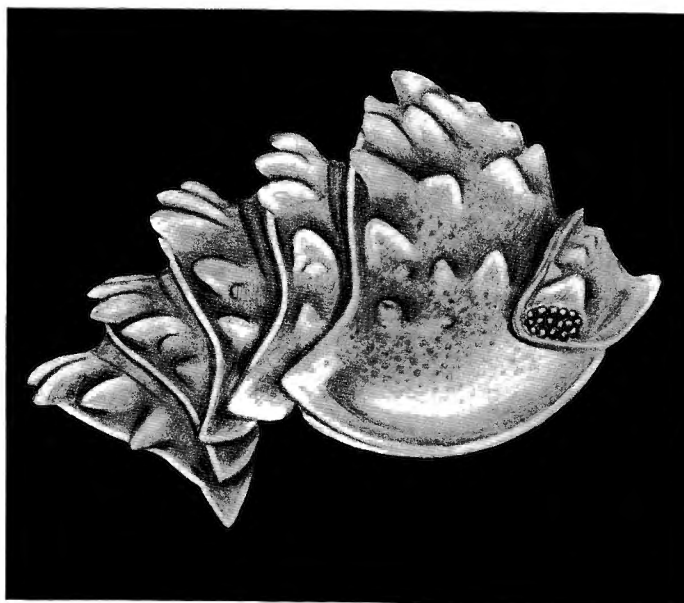


Fig. 13.

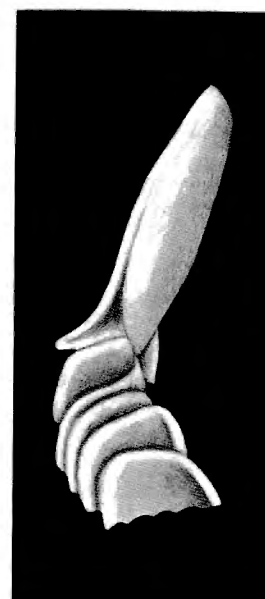


Fig. 14.

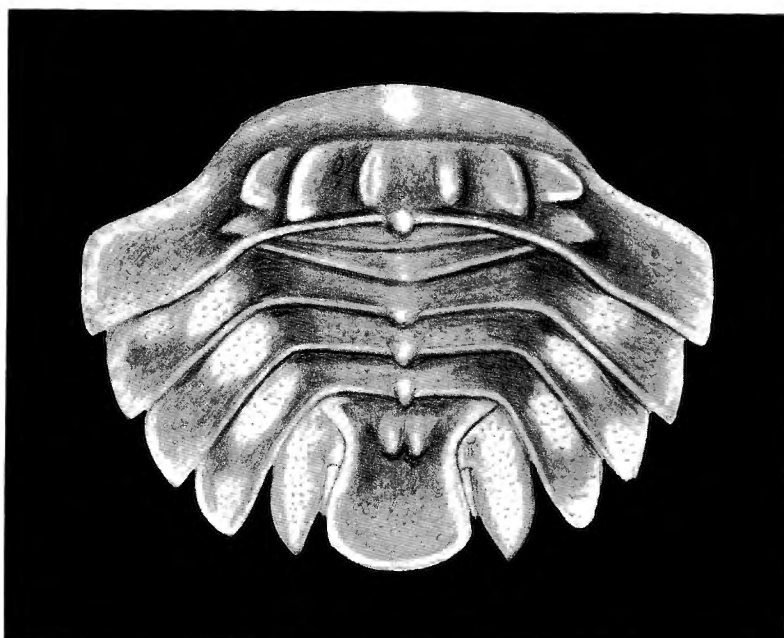


Fig. 15.

TAVOLA IX.

SPIEGAZIONE DELLE FIGURE.

Polycentrus aculeatus Buddenbrock.

Fig. Ie. — Cappello, J. e J. berlese, visto dal verso
verso (x 31).

Fig. II. — Cappello e J. berlese, visto dal verso
verso (x 35).

A. ARGANGETTI det.

.XI AJOVAT

SPIEGAZIONE DELLE FIGURE.

Polyacanthus aculeatus BUDDE-LUND.

Fig. 16. — Cephalon, 1° e 2° pereionite, visti dal lato destro (x 21).

Fig. 17. — Cephalon e 1° pereionite, visti dal lato ventrale (x 22).

A. ARCANGELI del.

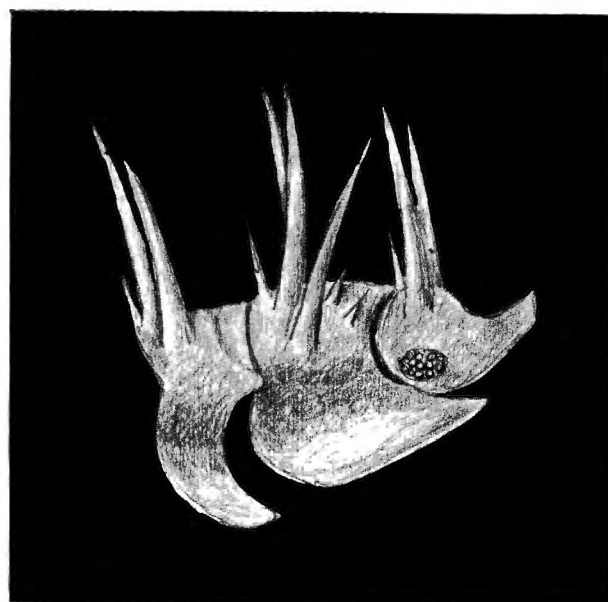


Fig. 16.

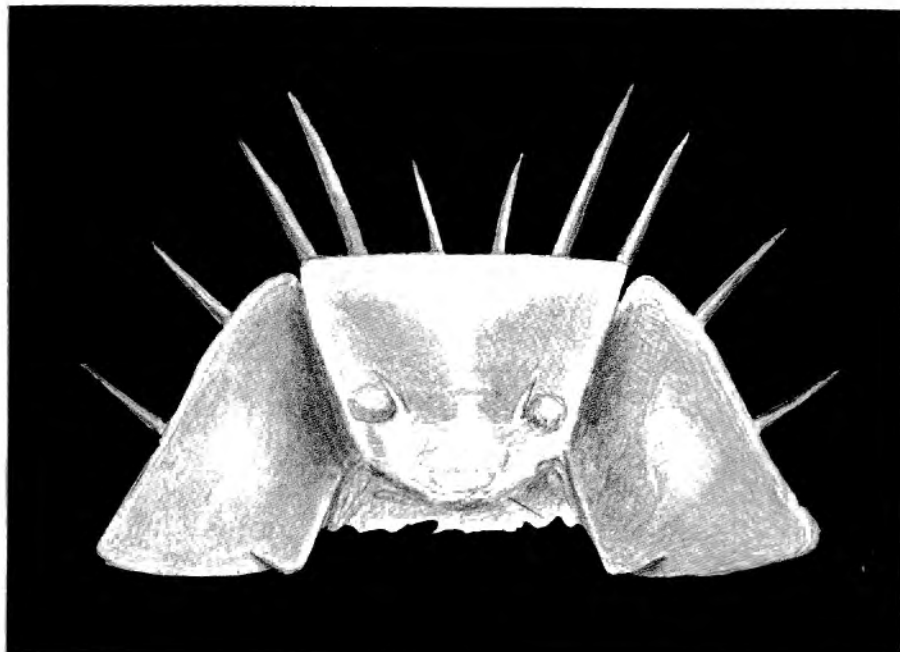


Fig. 17.

TAVOLA X.

SPIEGAZIONE DELLE FIGURE.

Polyacrylate acrylates Butyl-Runo.

Fig. 18. — La beriotite, below, bleaching of molybdenum
acid salt solution (x 31).

Fig. 19. — Anemulus gelatinous acids salt into venetian
(x 330).

A. ARCANGETT salt.

X AJOVAT

SPIEGAZIONE DELLE FIGURE.

Polyacanthus aculeatus BUDDE-LUND.

Fig. 18. — 7° pereionite, pleon, pleotelson ed uropodi,
visti dal dorso (x 21).

Fig. 19. — Antennula destra, vista dal lato ventrale
(x 330).

A. ARCANGELI del.

Exploration du Parc National Albert

Mission H. Damas (1935-1936) Fasc. 15

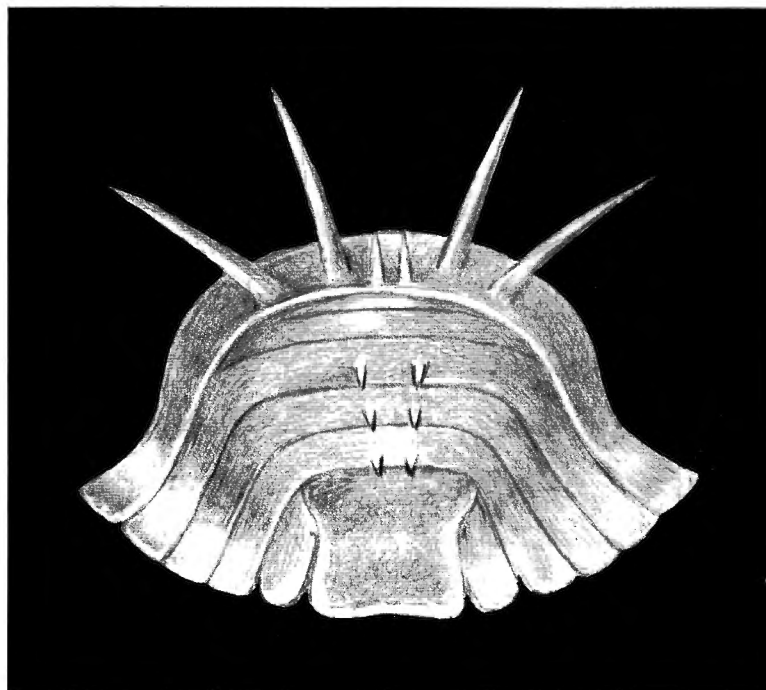


Fig. 18.

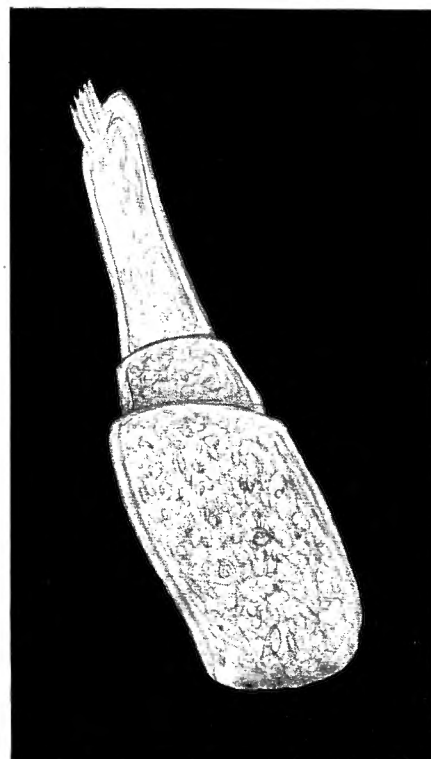


Fig. 19.

TAVOLA XI.

SPIEGAZIONE DELLE FIGURE.

Polyacanthus concoloris Buddenbrock.

Fig. 30. — 2o. stadio delle seabo e la fase delle galline.
femelle destri, vista dal dorso (x 30).

Fig. 31. — Parte distale delle simili interne delle 1^a
mascelles destri (x 330).

Fig. 32. — Eziobolite del 1^o. leziobole sinistro del
masto dal lato posteriore (x 30).

A. ARGANGETI dell.

IX AJOVAT

SPIEGAZIONE DELLE FIGURE.

Polyacanthus aculeatus BUDDE-LUND.

- Fig. 20. — 5° articolo dello scapo e flagello dell'antenna destra, vista dal dorso (x 90).
- Fig. 21. — Parte distale della lamina interna della 1^a mascella destra (x 330).
- Fig. 22. — Exopodite del 1^o pleopode sinistro del ♂, visto dal lato rostrale (x 90).

A. ARCANGELI del.

Exploration du Parc National Albert

Mission H. Damas (1935-1936) Fasc. 15

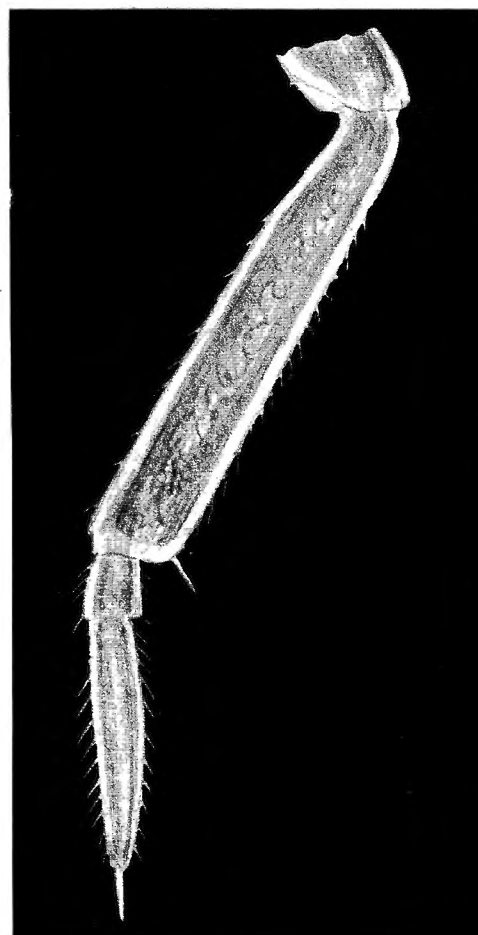


Fig. 20.

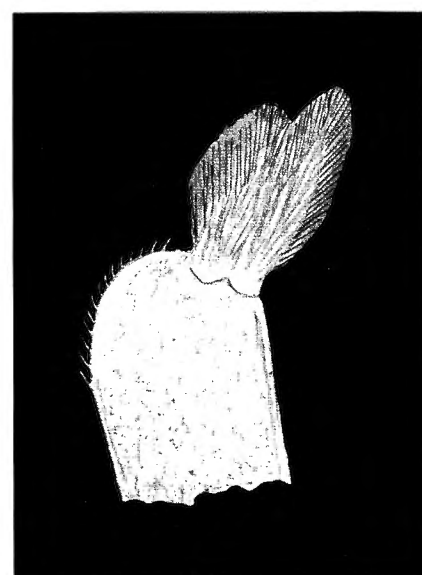


Fig. 21.

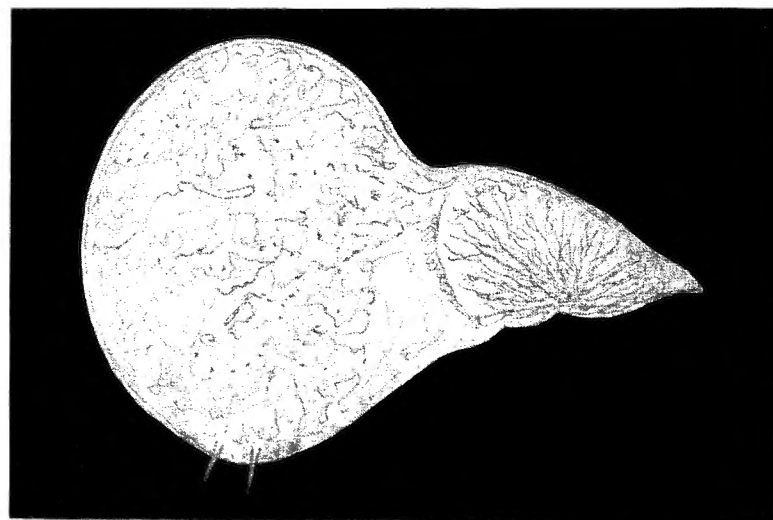


Fig. 22.

TAVOLA VII.

SPIEGAZIONE DELLE FIGURE.

Panneggiallo (Tunberg) *legatus* VAN NAME.

Fig. 10. — Endoquote del 1° bleboco sinistro del
cervello del *Ictioleosteus* (x 130).

Fig. 11. — Endoquote del 1° bleboco sinistro del
cervello del *Ictioleosteus* (x 130).

Fig. 12. — Endoquote del 1° bleboco sinistro delle
faringe del *Ictioleosteus* (x 130).

A. ARGENGELI det.

.LIV AJOVAT

SPIEGAZIONE DELLE FIGURE.

Pararmadillo (Tuberdillo) regulus VAN NAME.

**Fig. 10. — Exopodite del 1º pleopode destro del ♂,
visto dal lato rostrale (x 130).**

**Fig. 11. — Endopodite del 1º pleopode sinistro del ♂,
visto dal lato rostrale (x 130).**

**Fig. 12. — Exopodite del 1º pleopode sinistro della ♀,
visto dal lato rostrale (440).**

A. ARCANGELI del.

Exploration du Parc National Albert

Mission H. Damas (1935-1936) Fasc. 15

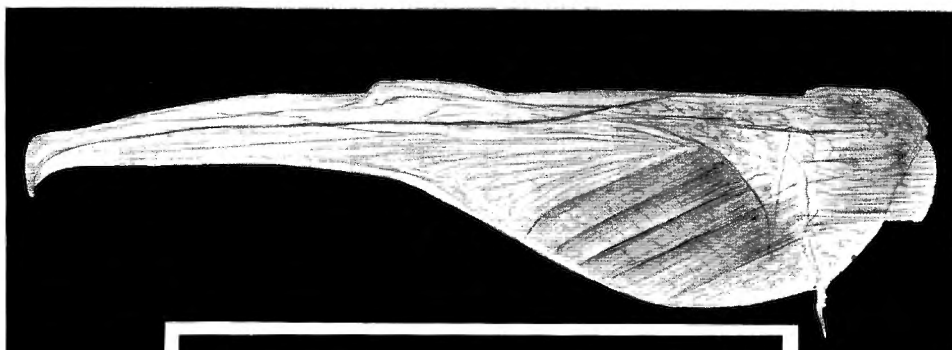


Fig. 11.

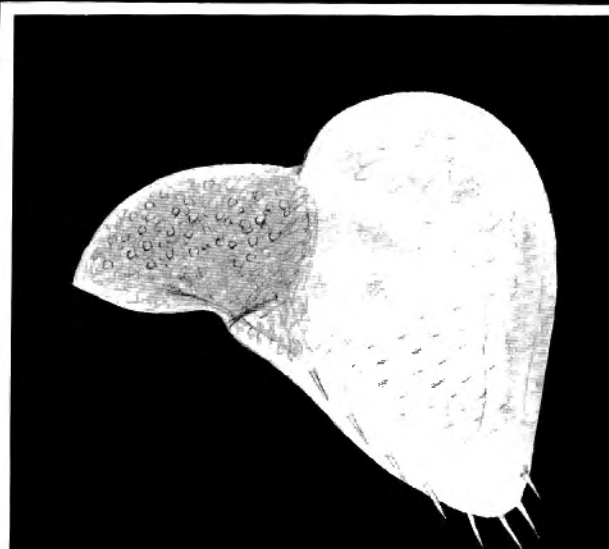


Fig. 10.

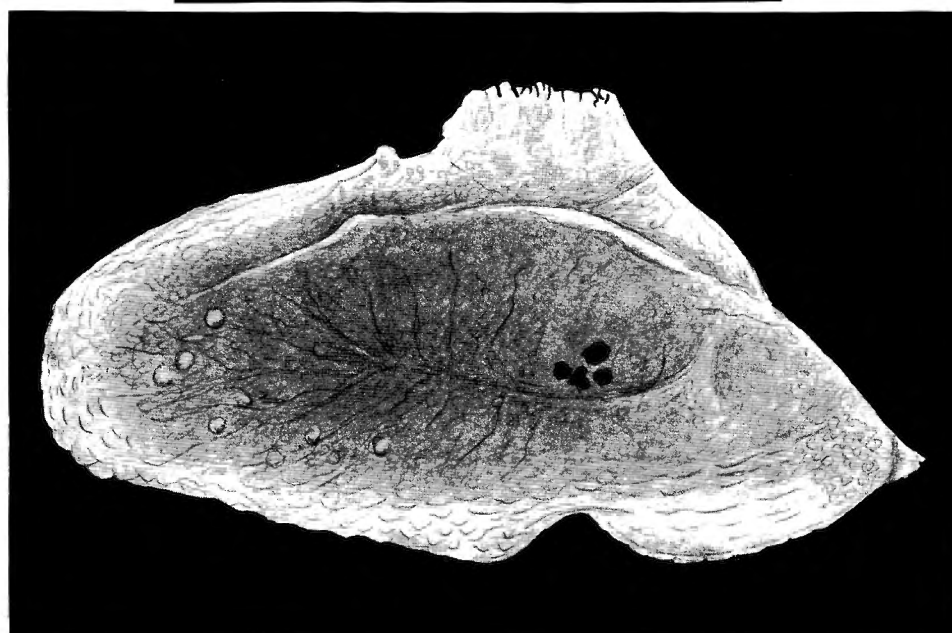


Fig. 12.

TAVOLA XII.

SPECIAZIONE DELLE FIGURE.

Polymerisus concretus Bunge-Rund.

Fig. 33. — Parte distale dell'apparato genitale del ♂. visto
dalle sinistre del ♂, visto dal lato opposto
(x 330).

Fig. 34. — Parte distale dell'apparato genitale del ♂.
a, vista dal lato opposto (x 330).

Fig. 35. — Ulteriore sinistra, visto dal lato opposto
(x 330).

A. ARGANGETI det.

.III AJOVAT

SPIEGAZIONE DELLE FIGURE.

Polyacanthus aculeatus BUDDE-LUND.

Fig. 23. — Parte distale dell'endopodite del 1° pleopode sinistro del ♂, visto dal lato rostrale (x 330).

Fig. 24. — Parte distale dell'appendice eiaculatoria del ♂, vista dal lato rostrale (x 330).

Fig. 25. — Uropode sinistro, visto dal lato dorsale (x 90).

A. ARCANGELI del.

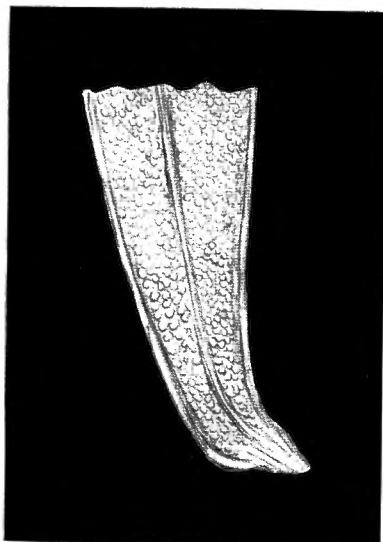


Fig. 23.

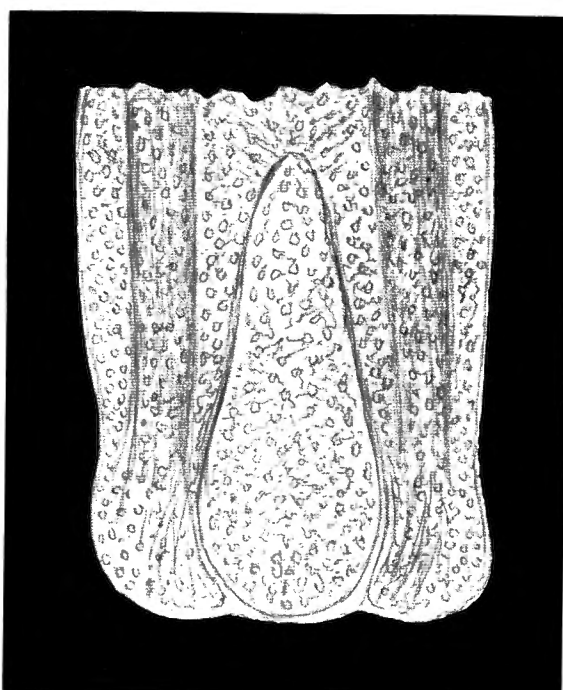


Fig. 24.

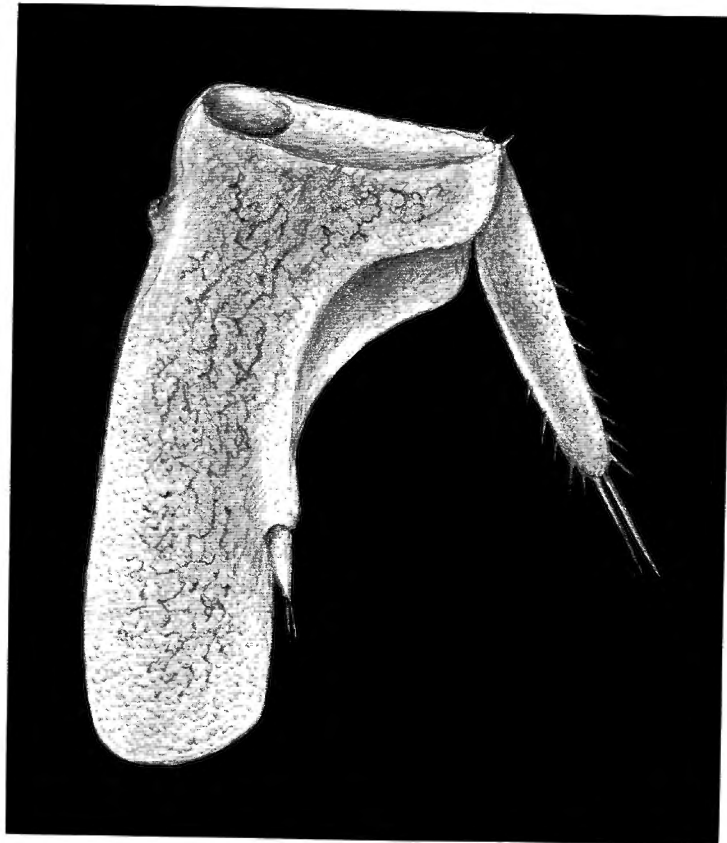


Fig. 25.

TAVOLA XIII.

SPIEGAZIONE DELLE FIGURE.

Figura (Figura) strutturale VAN NAME.

Fig. 36. — Colposcopio e biste sueriori del I^o beronio.
nito, visto dal dorso (x 30).

Fig. 37. — Epinomi dentro del I^o beronio, visto di
fuso (x 15).

Fig. 38. — 2^o beronio, pleotelson ed uropode, visto dal
fuso dorso (x 30). Forma un poco speri-
cata.

A. ARCANGETI del.

.IIIIX AJOVAT

SPIEGAZIONE DELLE FIGURE.

Eubelum (Eubelum) stanleyanum VAN NAME.

Fig. 26. — Cephalon e parte anteriore del 1° pereionite, visti dal dorso (x 20).

Fig. 27. — Epimere destro del 1° pereionite, visto di lato (x 17).

Fig. 28. — 5° pleonite, pleotelson ed uropodi, visti dal lato dorsale (x 20). Forma un poco aberrante.

A. ARCANGELI del.

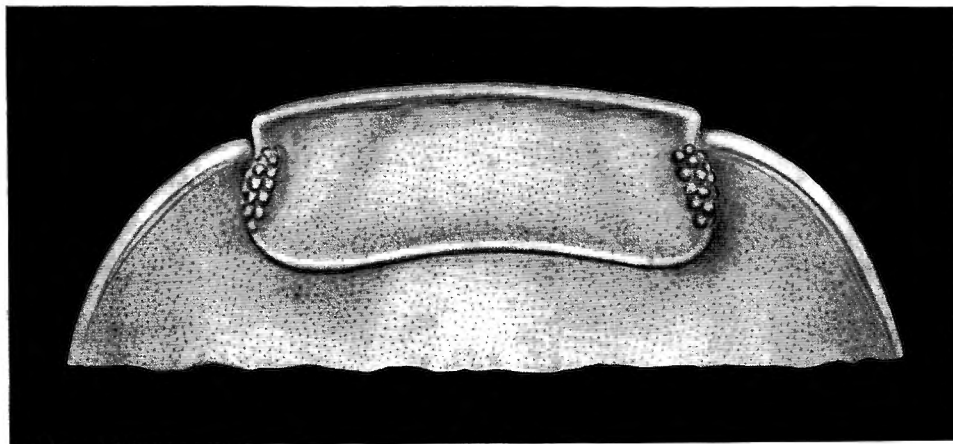


Fig. 26.

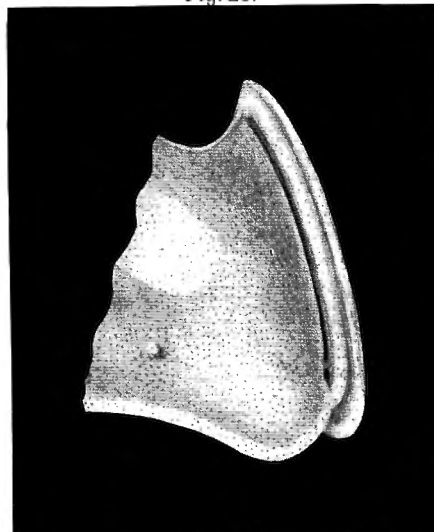


Fig. 27.

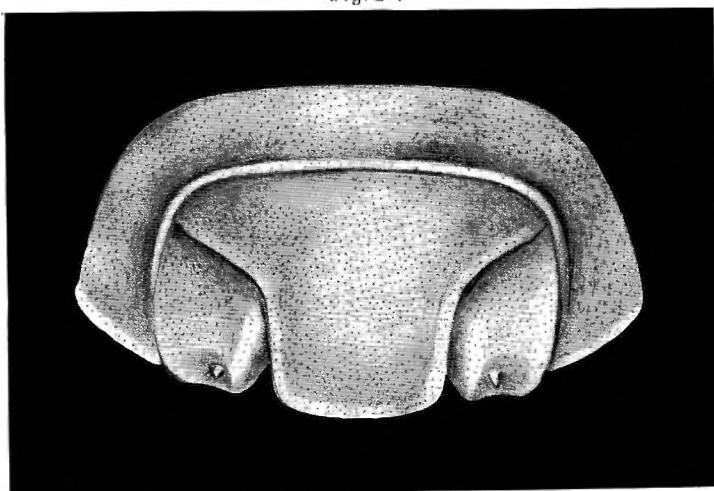


Fig. 28.

TAVOLA XIV.

SPIEGAZIONE DELLE FIGURE.

Fig. 29. — *Epinete deserto del I. berberitze, visto di*

lato e fronte (x 30).

Fig. 30. — *Parte distale del 5º articolato dello stesso e*

verso il lato anteriore questo, visto dal

ventrale (x 30).

A. ARCANGETI det.

VIX AJOVAT

SPIEGAZIONE DELLE FIGURE.

Eubelum (Eubelum) lubricum BUDDE-LUND.

- Fig. 29. — Epimere destro del 1º pereionite, visto di lato e dorsalmente (x 20).
- Fig. 30. — Parte distale del 5º articolo dello scapo e flagello dell'antenna destra, vista dal lato ventrale (x 90).

A. ARCANGELI del.

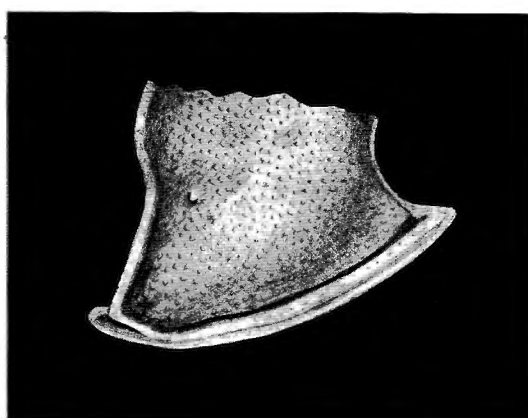


Fig. 29.

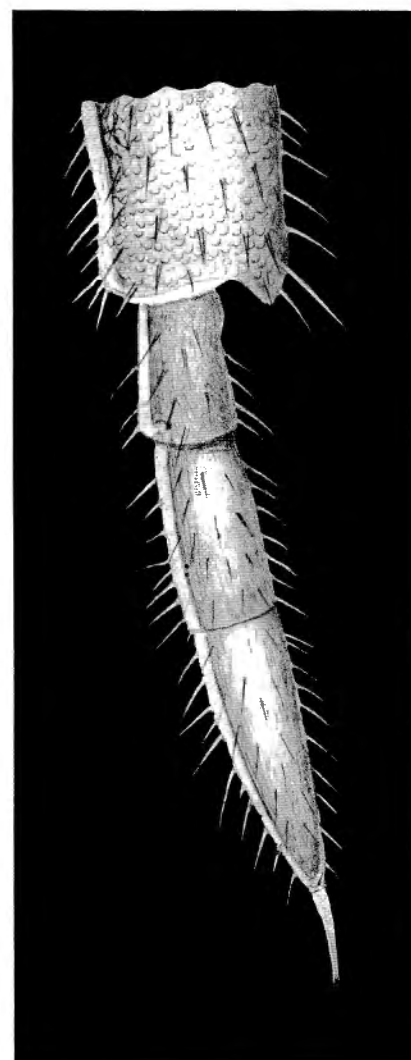


Fig. 30.

TAVOLA XV.

SPECIAZIONE DELLE FIGURE

Proprieta (Empetrum) impicum Buddle-Jones

Fig. 31. — Parte giovane del pericarpio, incipiente e
parte prossimale del mericarpio del J. o.
sezione longitudinale del a, visto sotto.
altezza (x 60).

A. ARANGELLI det.

VX AJOVAT

SPIEGAZIONE DELLE FIGURE.

Eubelum (Eubelum) lubricum BUDDE-LUND.

Fig. 31. — Parte distale del basipodite, ischiopodite e
parte prossimale del meropodite del 7º pe-
reiopode destro del ♂, visto dal lato ros-
trale (x 90).

A. ARCANGELI del.

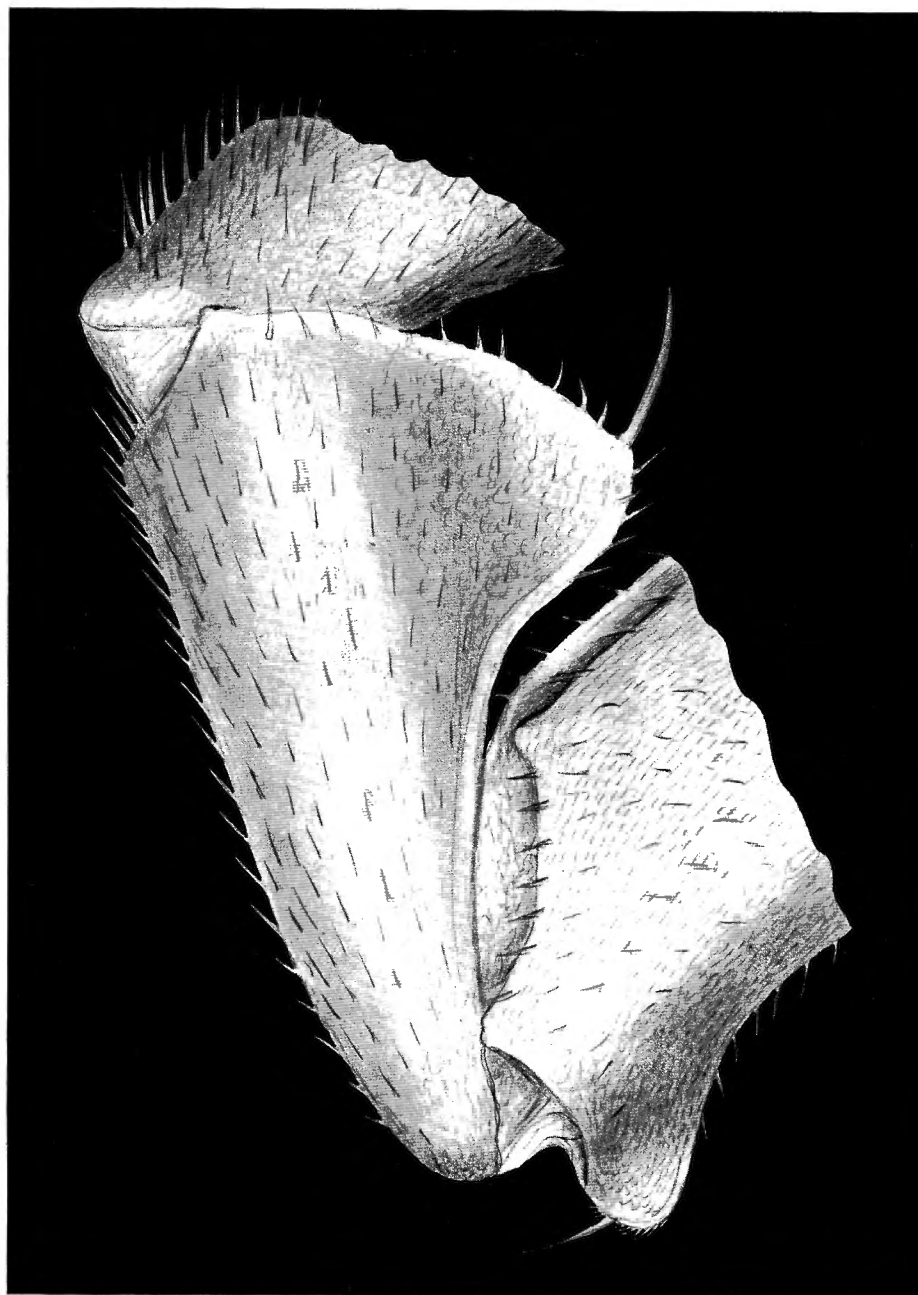


Fig. 31.

TAVOLA XVI.

SPECIAZIONE DELLE FIGURE.

Eryptium (Eryptium) peregrinum Bauder-und.

Fig. 35. — Eryptium peregrinum L. foliis oblongo-spatulatis vel a
vato vel lato rotundatis (x 30).

A. ARCANOGLI vel.

IVX AJOVAT

SPIEGAZIONE DELLE FIGURE.

Eubelum (Eubelum) lubricum BUDDE-LUND.

Fig. 32. — Exopodite del 1º pleopode destro del ♂,
visto dal lato rostrale (x 90).

A. ARCANGELI del.

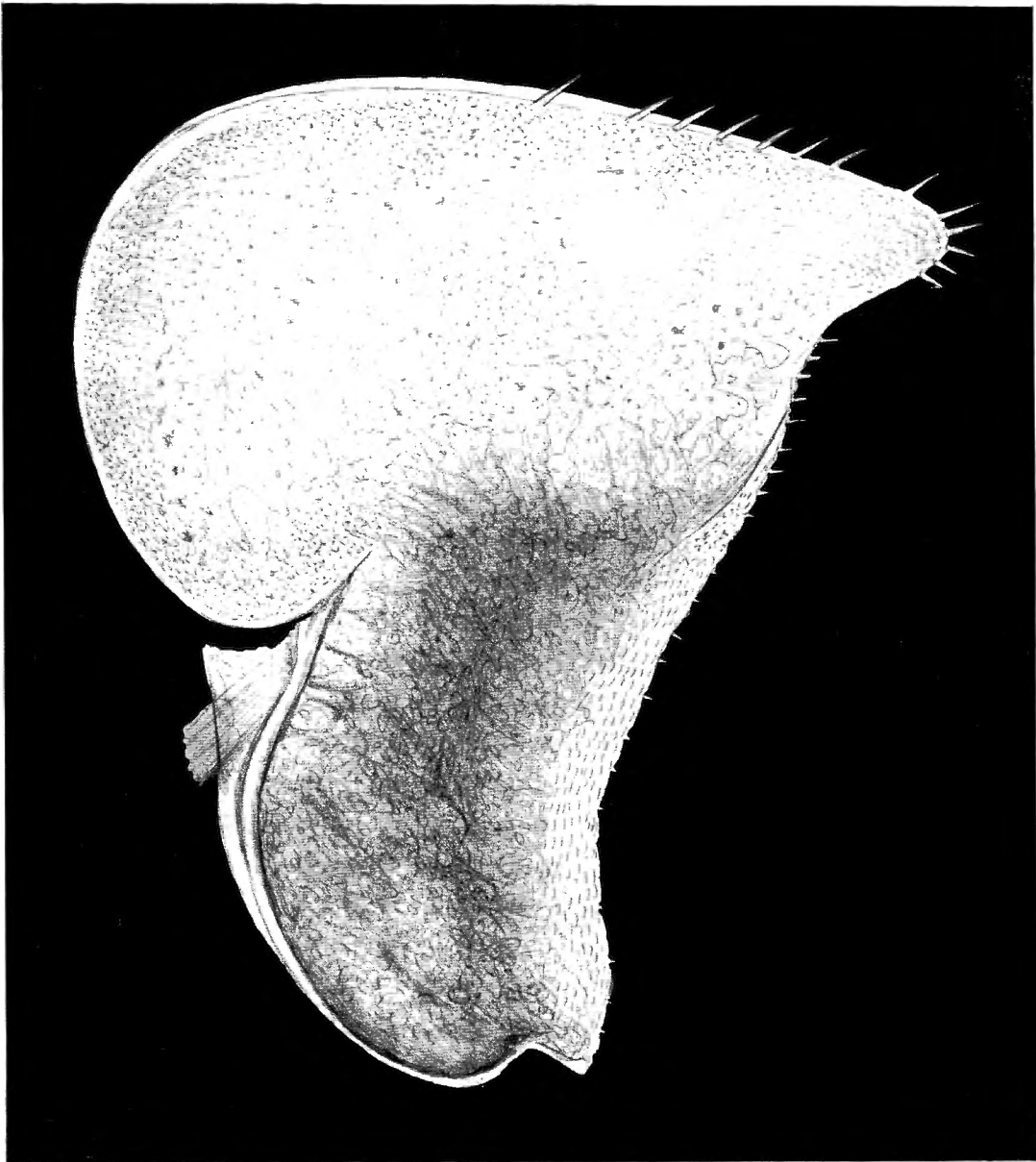


Fig. 32.

TAVOLA XVII.

SPECIAZIONE DELLE FIGURE.

Purpura (Empetrum) spicatum Buddle-Jones.

Fig. 33. — Epidermide del 1º bleo delle detto cellule
viste dal lato costale (x 30).

Fig. 34. — Epidermide del 2º bleo delle detto cellule
viste dal lato costale (x 30).

A. ARCANGETTI det.

IIVX AJOVAT

SPIEGAZIONE DELLE FIGURE.

Eubelum (Eubelum) lubricum BUDDE-LUND.

Fig. 33. — Exopodite del 1° pleopode destro della ♀,
visto dal lato rostrale (x 90).

Fig. 34. — Exopodite del 2° pleopode destro della ♀,
visto dal lato rostrale (x 90).

A. ARCANGELI del.

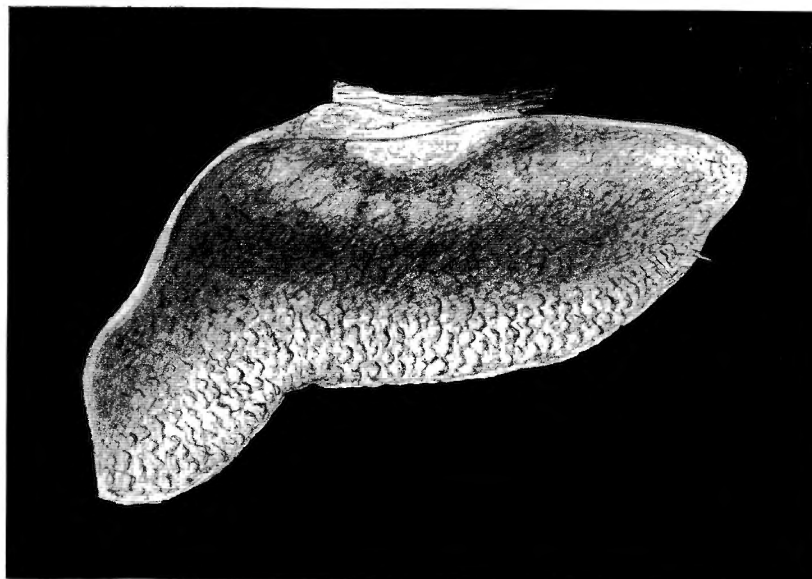


Fig. 33.

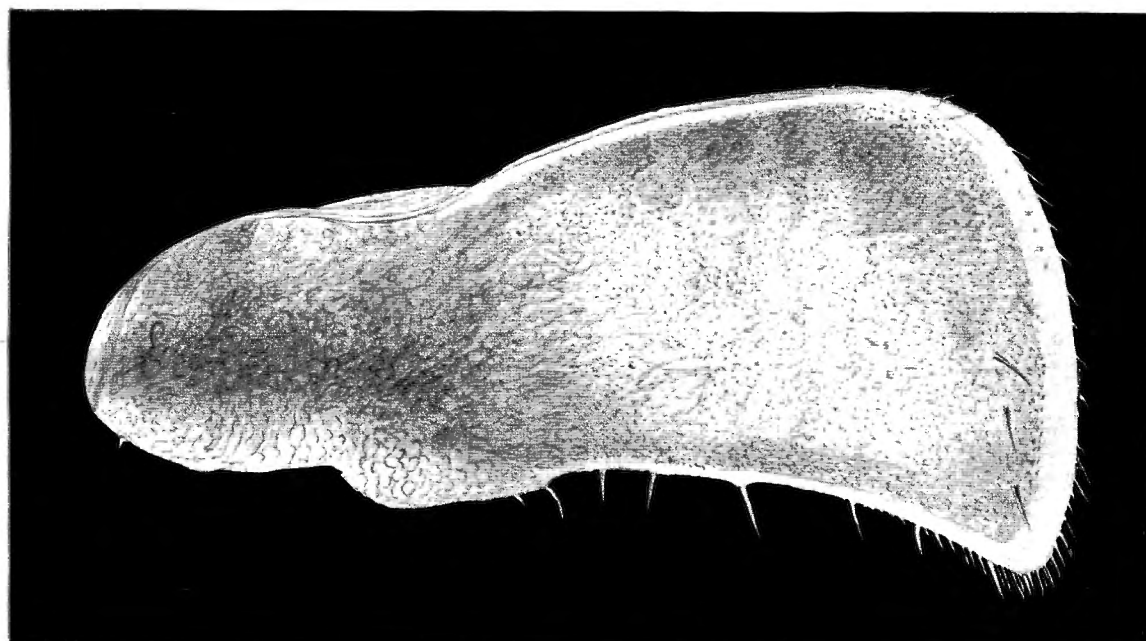


Fig. 34.

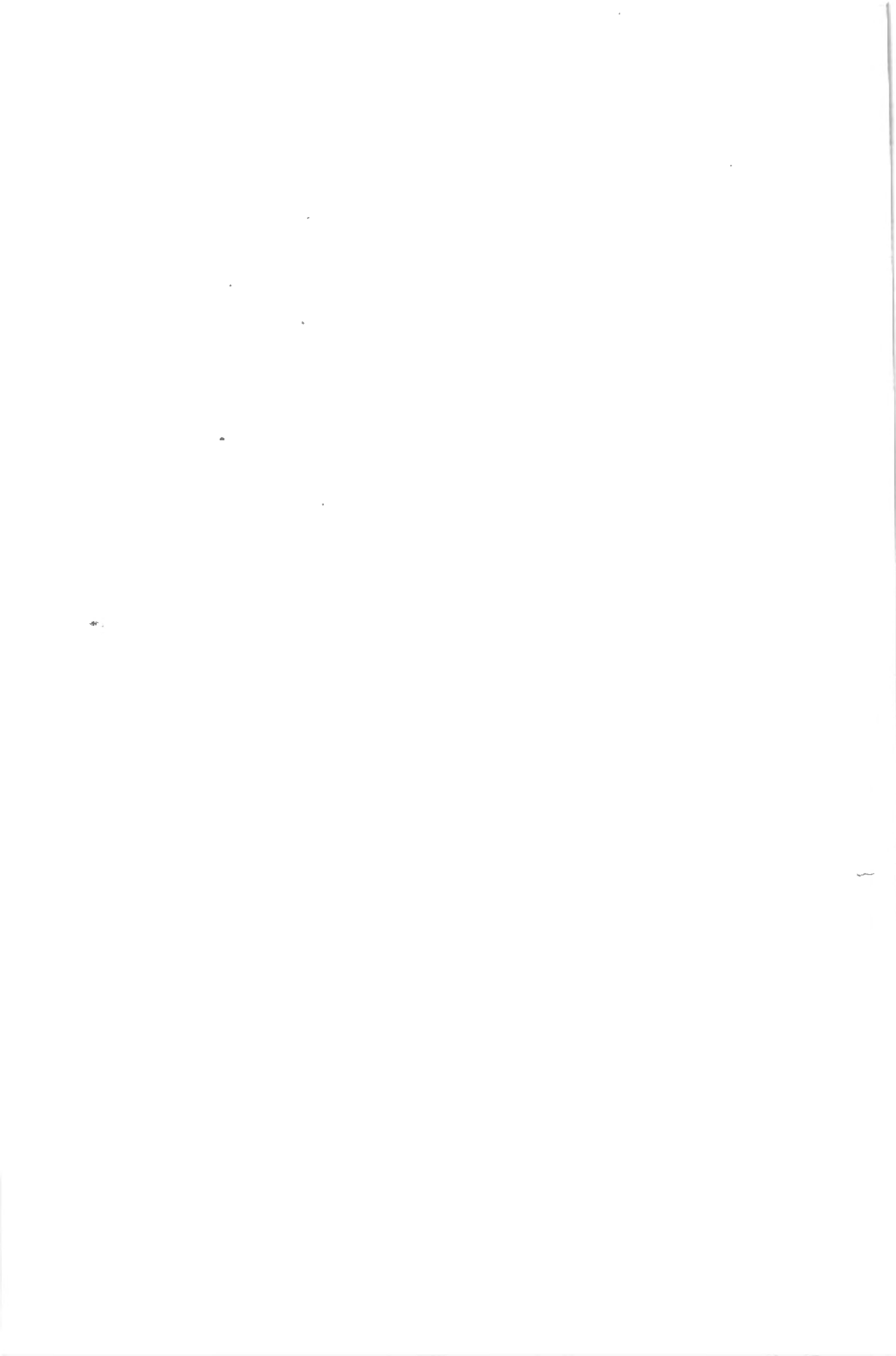


TAVOLA XVIII.

SPIEGAZIONE DELLE FIGURE.

Eugenio (Eugenio) Van Name Arcangeli.

Fig. 35. — Cappello e base superiore del J. beronio.
vite, viti del gesso (x 30).

Fig. 36. — Epine di gesso del J. beronio, visto di
lato e grossamente (x 33).

Fig. 37. — 2° piano, lato levante del tronco, visto dal
gesso. e grossamente (x 30).

V. ARCANOELLI gessi.

.IIIIX AJOVAT

SPIEGAZIONE DELLE FIGURE.

Eubelum (Eubelum) Van Namei ARCANGELI.

Fig. 35. — Cephalon e parte anteriore del 1° pereionite, visti dal dorso (x 26).

Fig. 36. — Epimere destro del 1° pereionite, visto di lato e dorsalmente (x 33).

Fig. 37. — 5° pleonite, pleotelson ed uropodi, visti dal dorso. ♀ giovane (x 30).

A. ARCANGELI del.

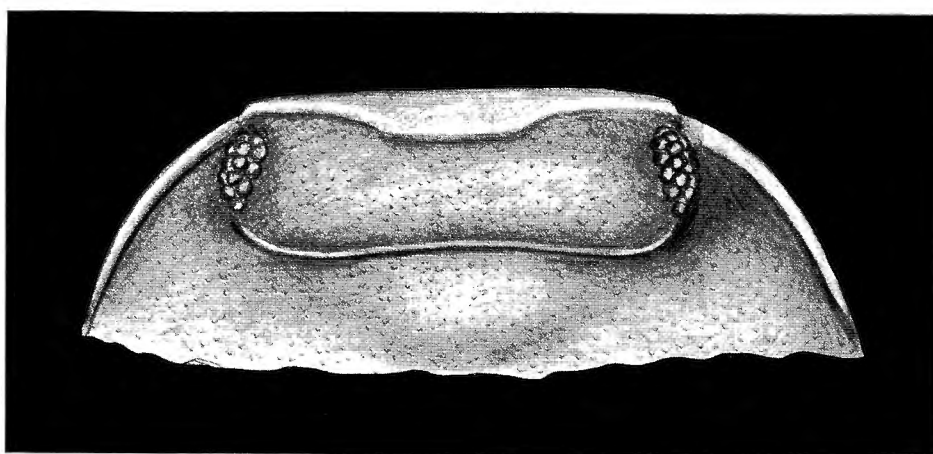


Fig. 35.

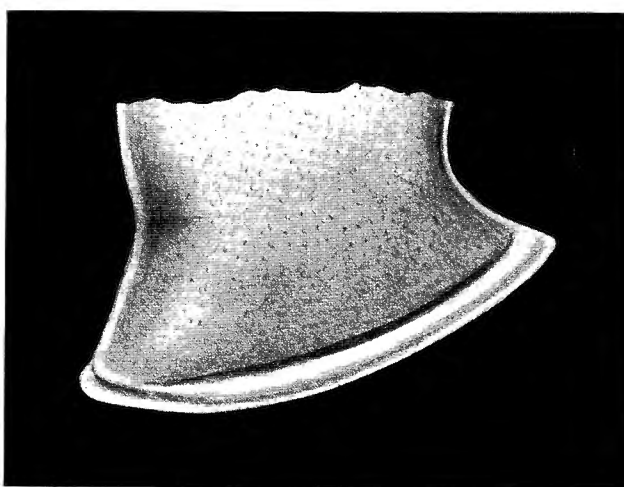


Fig. 36.

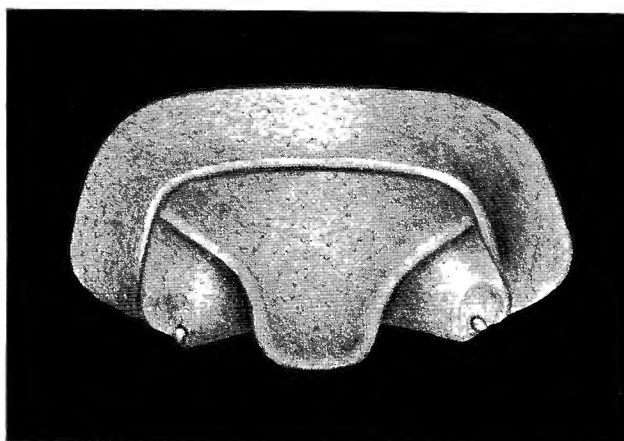


Fig. 37.

TAVOLA XIX.

SPIEGAZIONE DELLE FIGURE.

Presepium (Presepium) Noi Mensei ARCANGETI.

Fig. 38. — Parte distale del pesiootide, iacchiootide, metacarotide e parte trascinante del carpo.
boleite del 2º metacarotide destro del c. avito
del tutto rotolare (x 44).

Fig. 39. — Parte distale del pesiootide, iacchiootide, metacarotide e parte trascinante del carpo.
boleite del 2º metacarotide destro del c. avito
del tutto rotolare (x 44).

A. ARCANGETI del

.XIX AJOVAT

SPIEGAZIONE DELLE FIGURE.

Eubelum (Eubelum) Van Namei ARCANGELI.

Fig. 38. — Parte distale del basipodite, ischiopodite, meropodite e parte prossimale del carpopodite del 6º pereiopode destro del ♂, visto dal lato rostrale (x 44).

Fig. 39. — Parte distale del basipodite, ischiopodite, meropodite e parte prossimale del carpopodite del 7º pereiopode destro del ♂, visto dal lato rostrale (x 44).

A. ARCANGELI del.

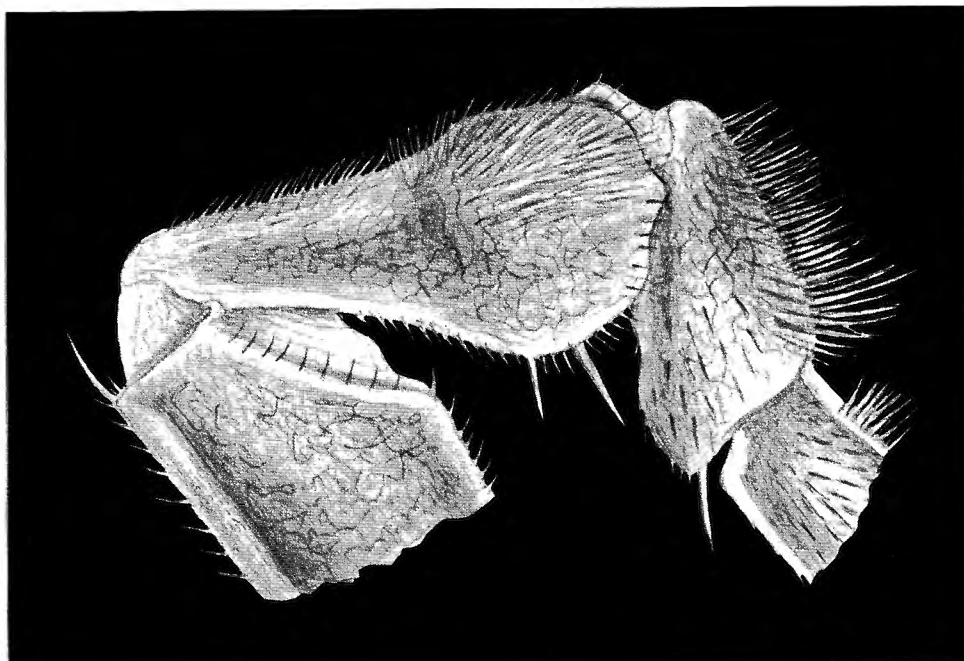


Fig. 38.

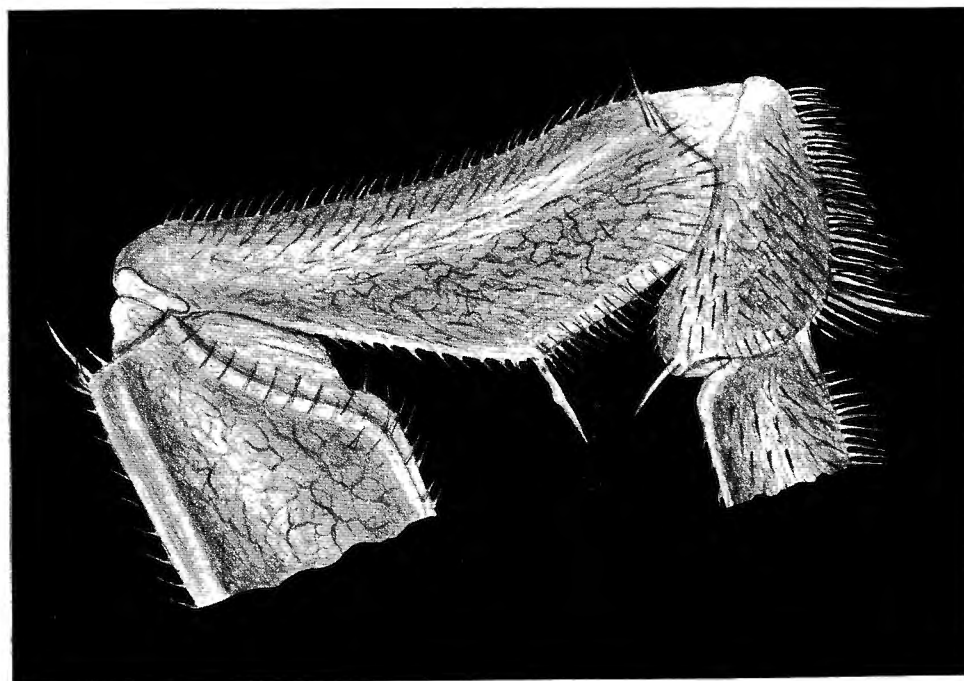


Fig. 39.

TAVOLA XX.

SPIEGAZIONE DELLE FIGURE.

Eupeltus (Eupeltus) Nas Mawei ARCANOET.

Fig. 40. — Esquema del I. leopardo dentro del a
visto dal lato destro (x 44).

Eupeltus (Eupeltus) nas Mawei ARCANOET.

Fig. 41. — Cabeza e busto anterior del I. berleino.
vista, visto dal dorso (x 30).

Fig. 42. — Espinete dentro del I. berleino, visto di
lado e dorso (x 30).

A. ARCANOET.

.XX AJOVAT

SPIEGAZIONE DELLE FIGURE.

Eubelum (Eubelum) Van Namei ARCANGELI.

Fig. 40. — Exopodite del 1º pleopode destro del ♂, visto dal lato rostrale (x 44).

Eubelum (Eubelum) incertum ARCANGELI.

Fig. 41. — Cephalon e parte anteriore del 1º pereionite, visti dal dorso (x 20).

Fig. 42. — Epimere destro del 1º pereionite, visto di lato e dorsalmente (x 20).

A. ARCANGELI del.

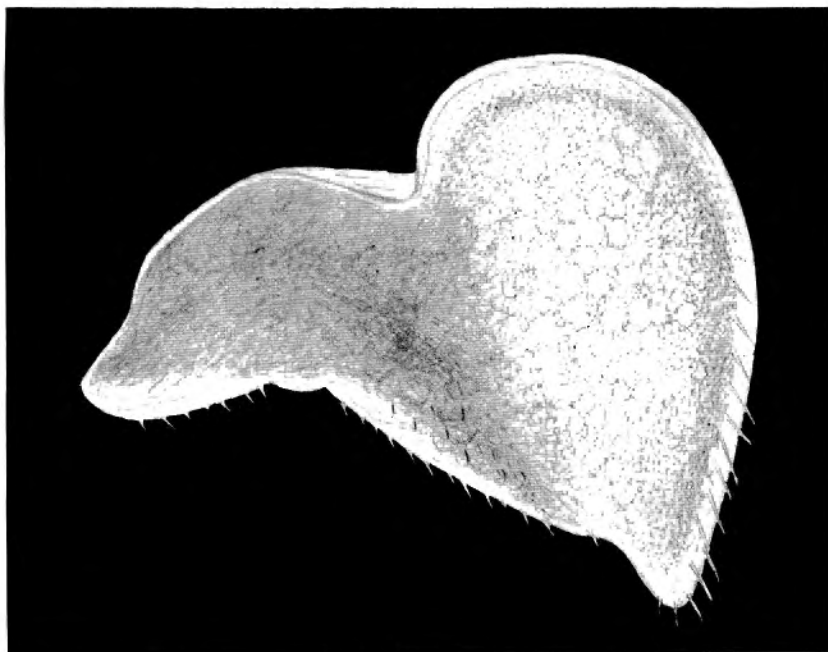


Fig. 40.

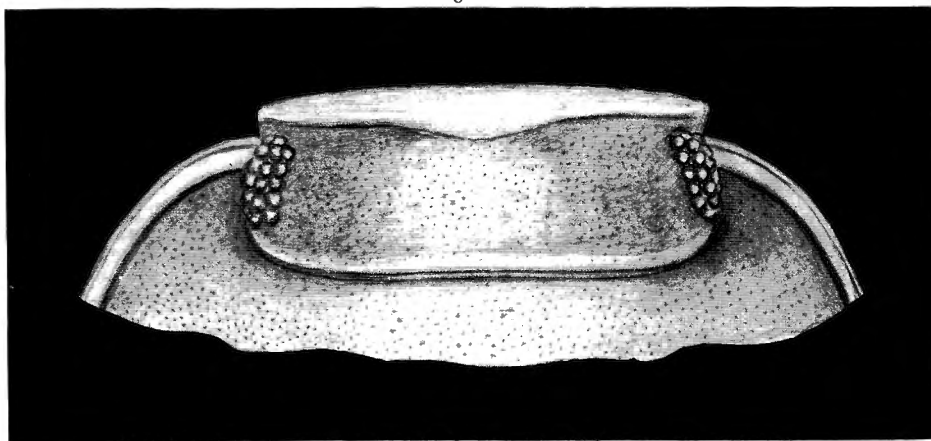


Fig. 41.

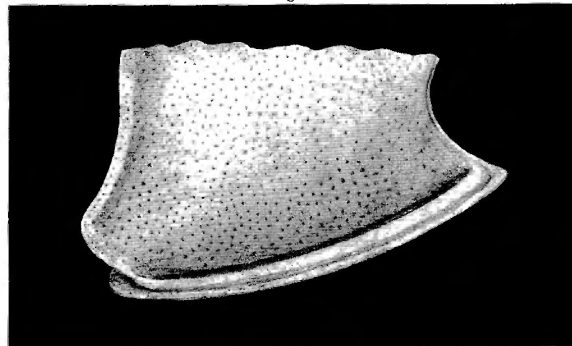


Fig. 42.

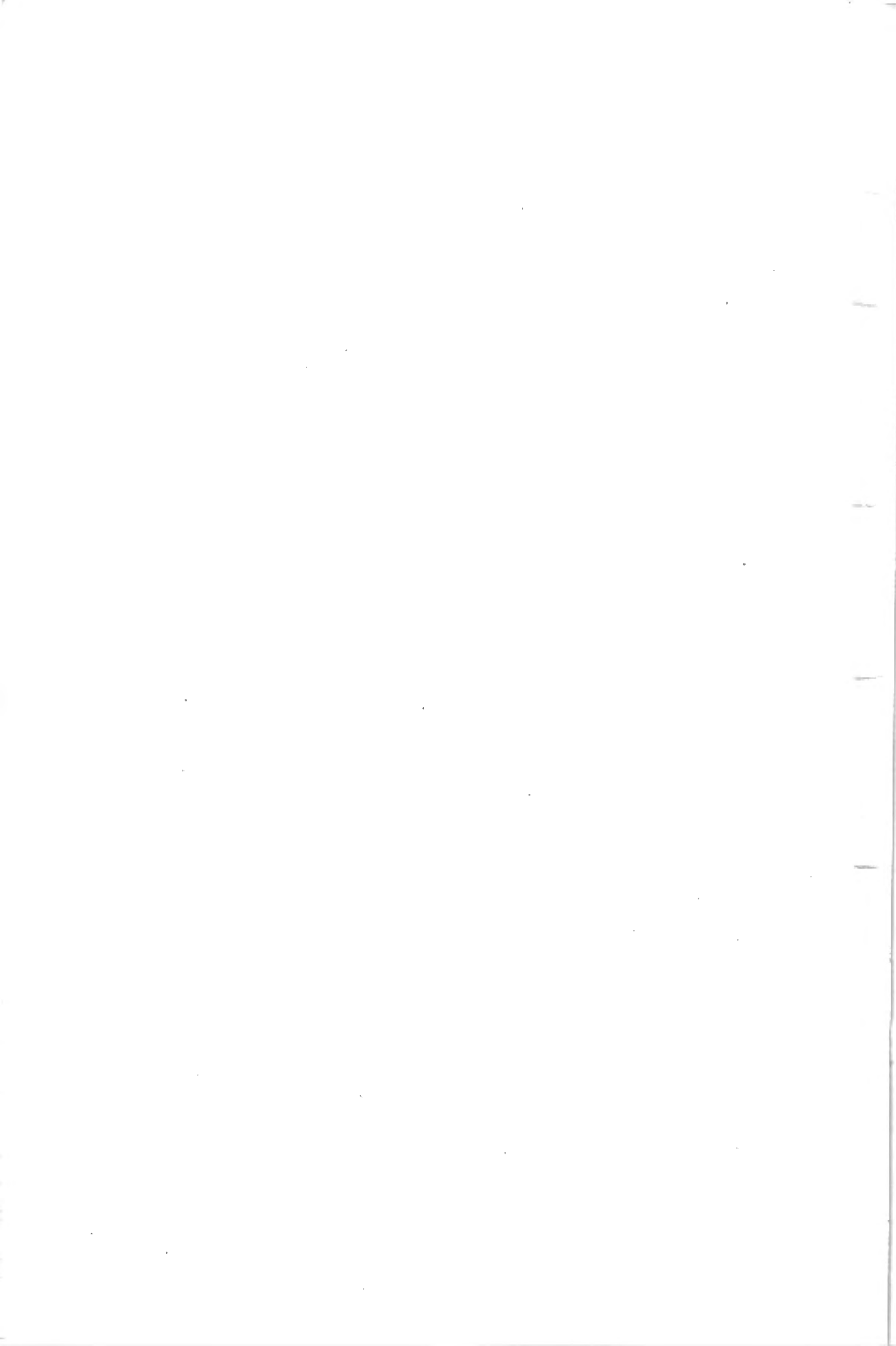


TAVOLA XXI.

SPIEGAZIONE DELLE FIGURE

Fig. 43. — 5° piano, proiezione del modello, visto dal
profilo (x 30).

Fig. 44. — Parte sinistra del 5° piano dello scavo e
profilo dell'antenna detta, visto dal profilo
(x 30).

A. ARCANGETTI per

.IXX AJOVAT

SPIEGAZIONE DELLE FIGURE.

Eubelum (Eubelum) incertum ARCANGELI.

Fig. 43. — 5° pleonite, pleotelson ed uropodi, visti dal dorso (x 20).

Fig. 44. — Parte distale del 5° articolo dello scapo e flagello dell'antenna destra, visti dal dorso (x 90).

A. ARCANGELI del.

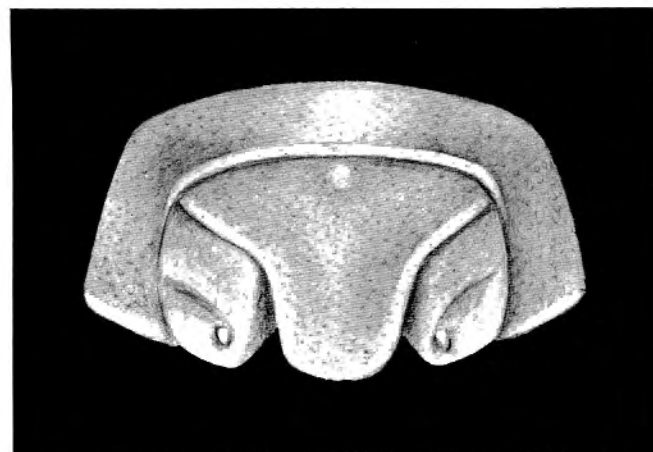


Fig. 43.

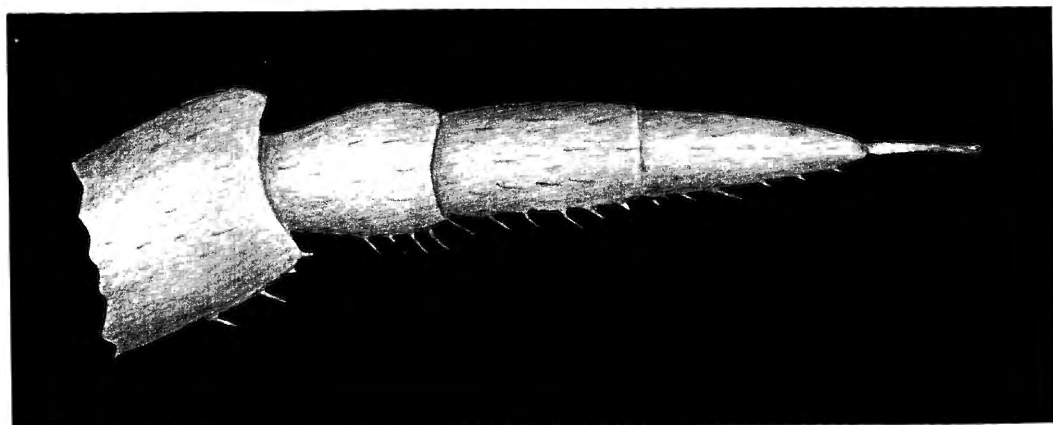


Fig. 44.

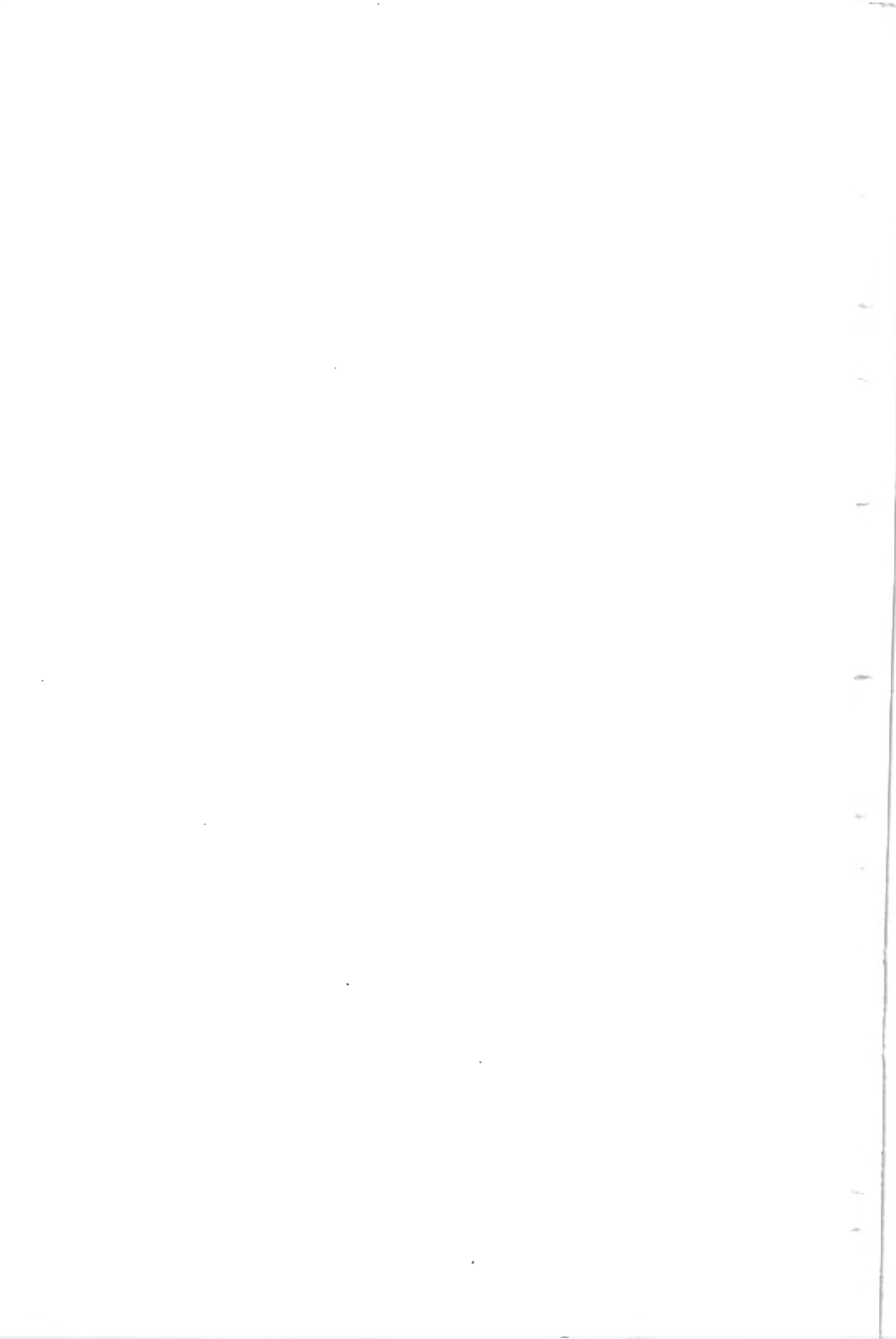


TAVOLA XXII.

SPIEGAZIONE DELLE FIGURE.

Fuspolino (Fuspolino) incertum ARCANEGLI

Fig. 42. — Parte distale del pespolino, incipiente.
metropolite e parte basale delle spine del cespolo.
parte del Jº berleboghe del a, visto dal lato
posteriore.

A. ARCANEGLI det.

.IXXX AJOVAT

SPIEGAZIONE DELLE FIGURE.

Eubelum (Eubelum) incertum ARCANGELI.

Fig. 45. — Parte distale del basipodite, ischiopodite, meropodite e parte prossimale del carpopodite del 7º pereiopode del ♂, visto dal lato rostrale.

A. ARCANGELI del.

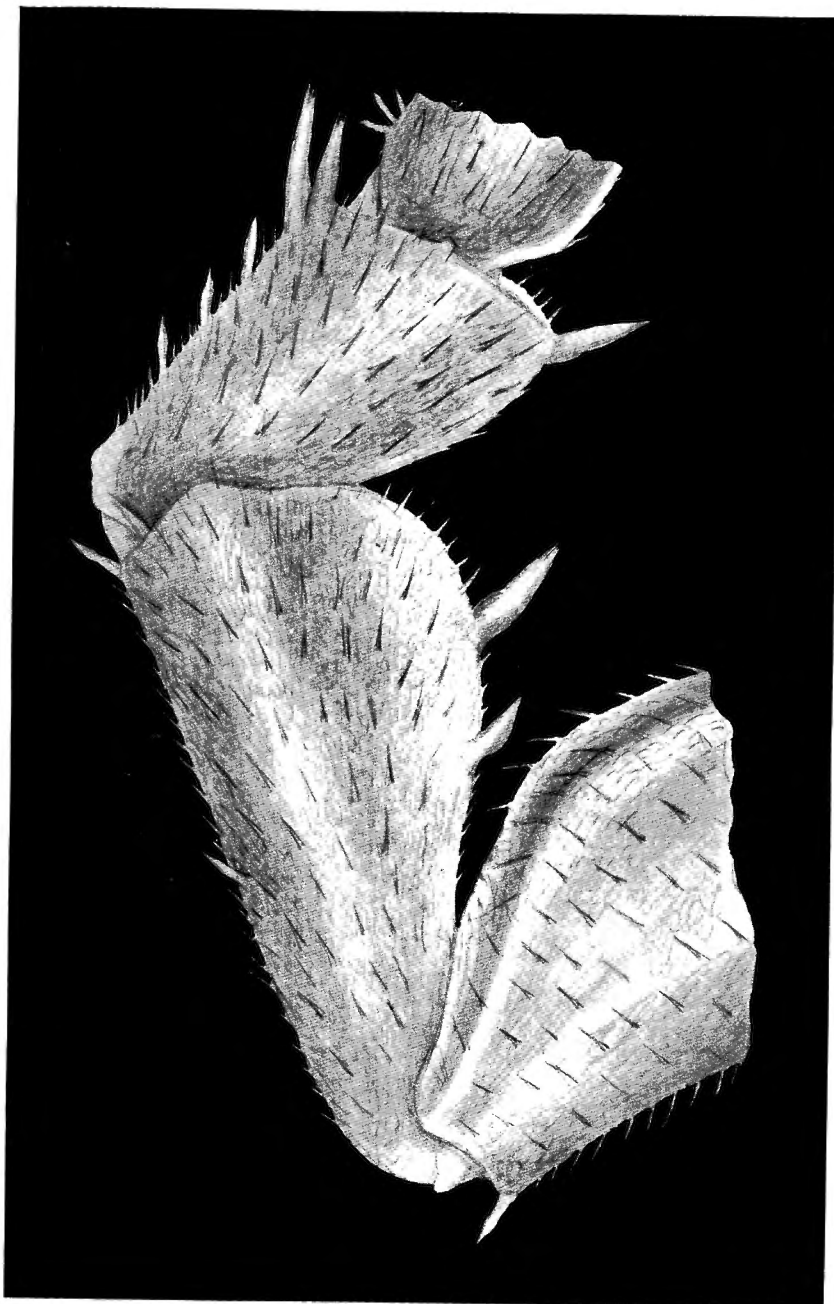


Fig. 45.

TAVOLA XXIII.

SPIEGAZIONE DELLE FIGURE.

Eugenio (Eugenio) Ricettus Arcangeli

Fig. 46. — Due sezioni delle matrice mediale del
cervelletto del 7° embrione destro del
o, (x 40).

A. ARCANOGLI del

.IIIXX AIOVAT

SPIEGAZIONE DELLE FIGURE.

Eubelum (Eubelum) incertum ARCANGELI.

Fig. 46. — Due aculeosetole del margine mediale del carpopodite del 7º pereiopode destro del ♂, (x 440).

A. ARCANGELI del.

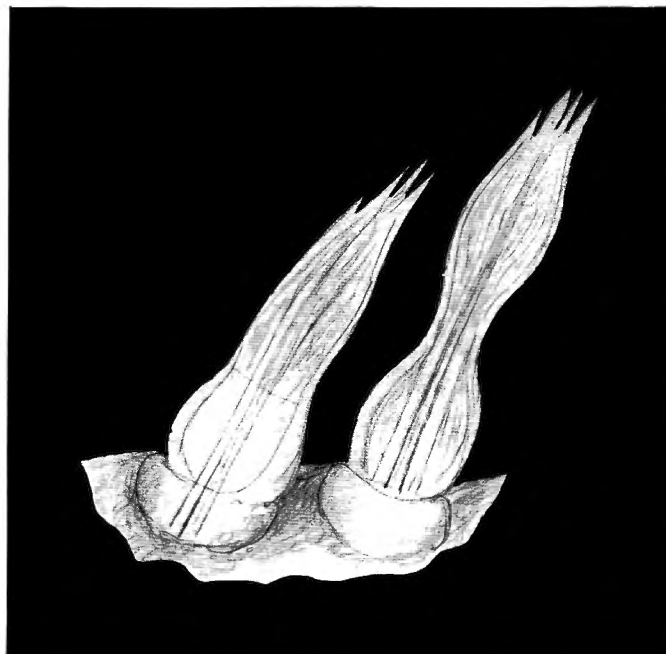


Fig. 46.

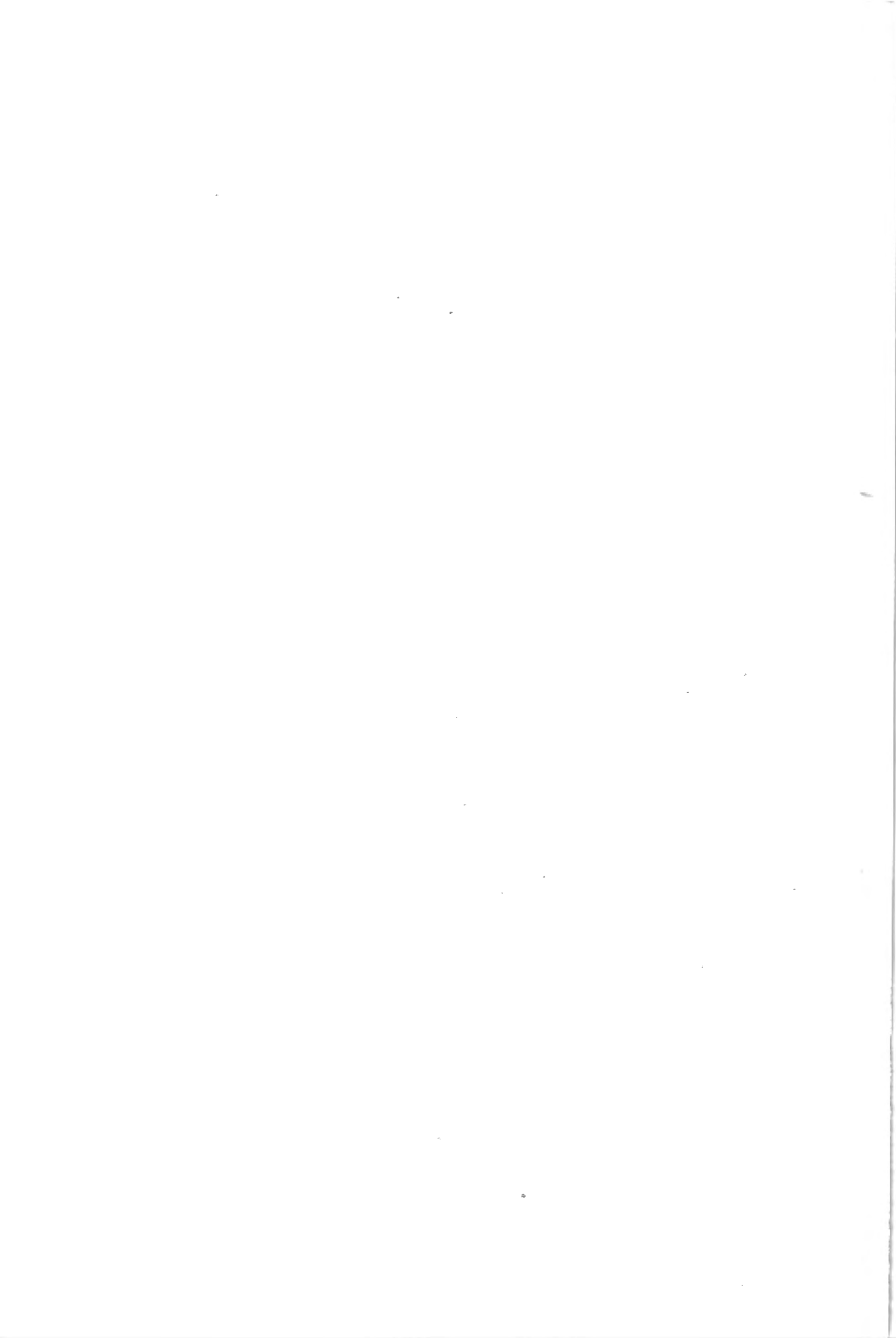


TAVOLA XXIV.

SPECIAZIONE DELLE LICURE

Euphorbia (Euphorbia) incertus ARCANGETT

Fig. 45. — Euphorbia incertus Arcangeli
sotto figlio rotula (x 30).

A. ARCANGETT det.

.VIXX AJOVAT

SPIEGAZIONE DELLE FIGURE.

Eubelum (Eubelum) incertum ARCANELLI.

Fig. 47. — Exopodite del 1º pleopode destro del ♂,
visto dal lato rostrale (x 90).

A. ARCANGELI del.

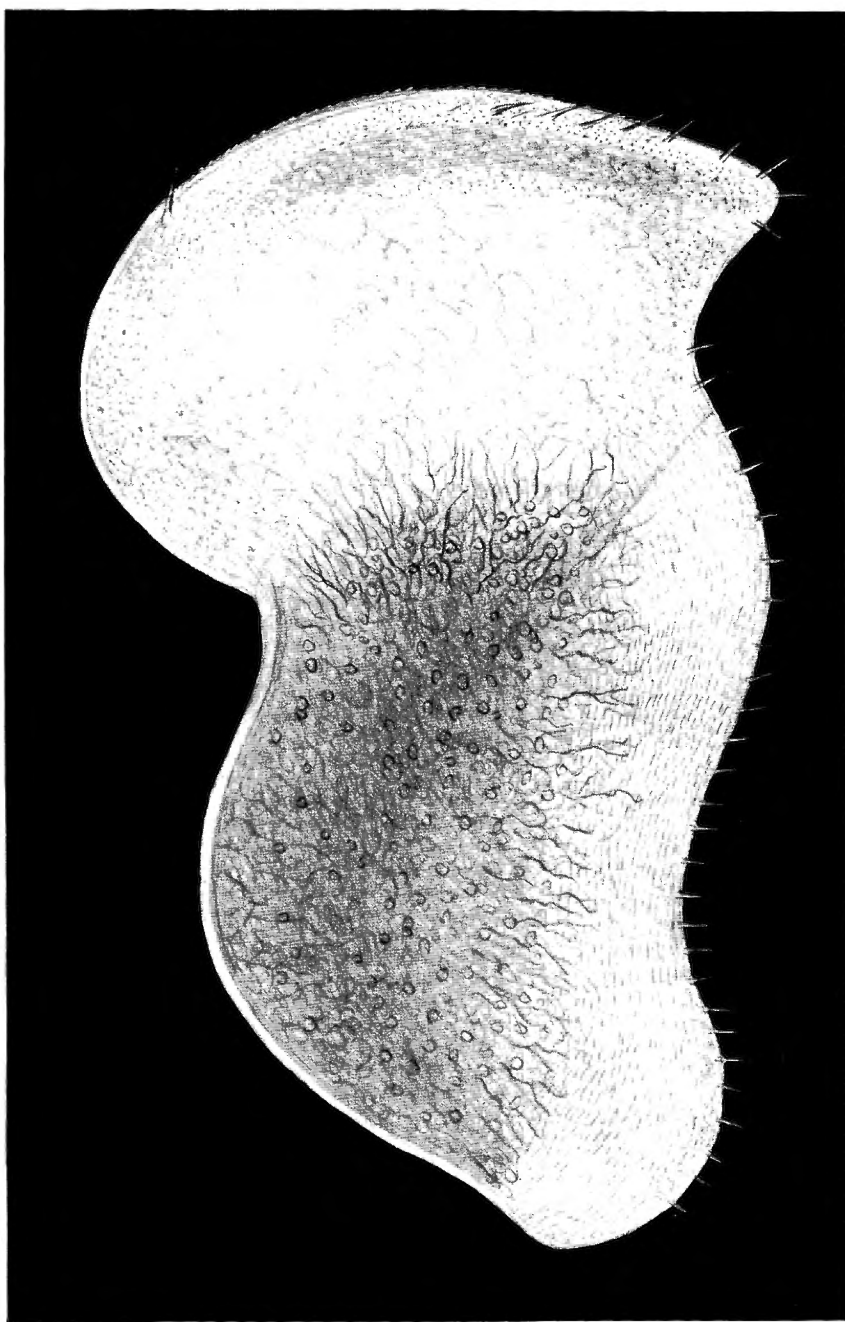


Fig. 47.

TAVOLA XXV:

SPECIAZIONE DELLE FIGURE

Euphorbia (Euphorbia) viscosa Arcangeli

Fig. 48. — Parte distale dell'endoblaste del I. fleo-
bole gerito dal a, vista dal lato laterale
(x 440).

Euphorbia (Euphorbia) viscosa Arcangeli

Fig. 49. — Capsula e parte superiore del I. fleo-
bole, visto dal dorso (x 180).

A. ARCANELI dal

VXX AJOVAT

SPIEGAZIONE DELLE FIGURE.

Eubelum (Eubelum) incertum ARCANGELI.

Fig. 48. — Parte distale dell'endopodite del 1º pleopode destro del ♂, vista dal lato rostrale (x 440).

Eubelum (Eubelum) kisantui ARCANGELI.

Fig. 49. — Cephalon e parte anteriore del 1º pereionite, visti dal dorso (x 18).

A. ARCANGELI del.



Fig. 48.

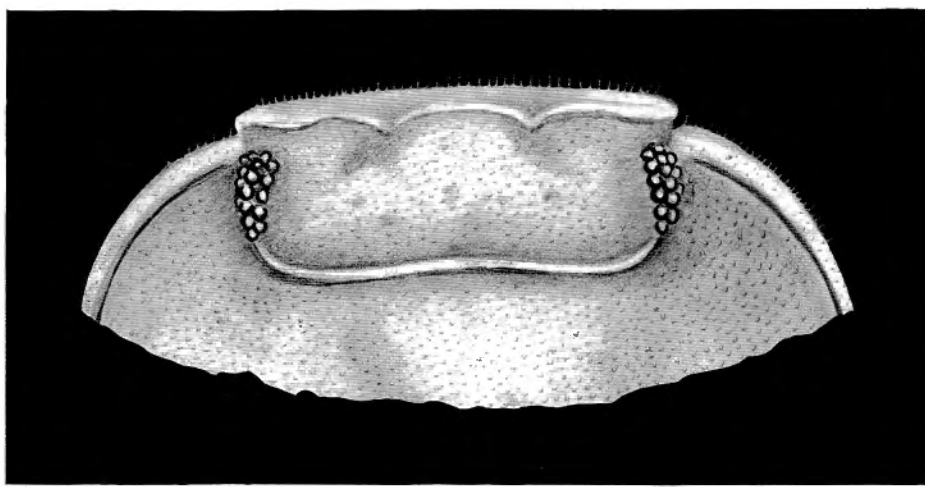


Fig. 49.

